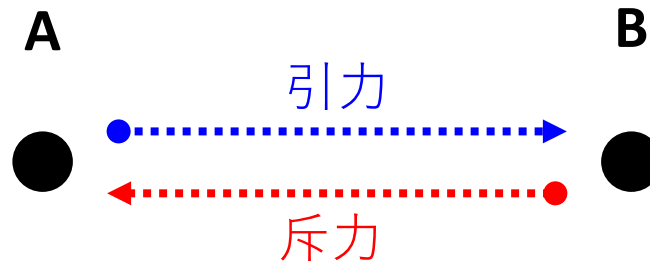


# 非相反相転移と フラストレーション物理

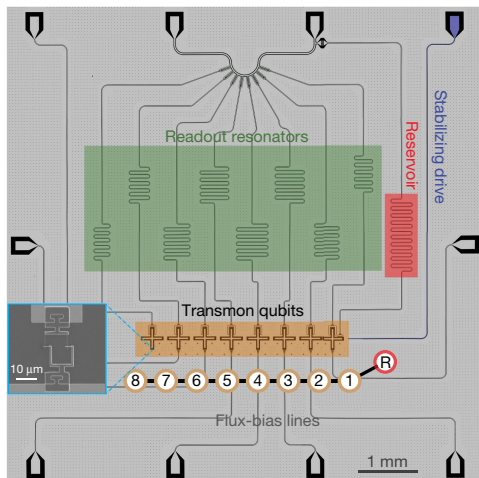
花井 亮

京都大学基礎物理学研究所  
Asia Pacific Center for Theoretical Physics (APCTP)



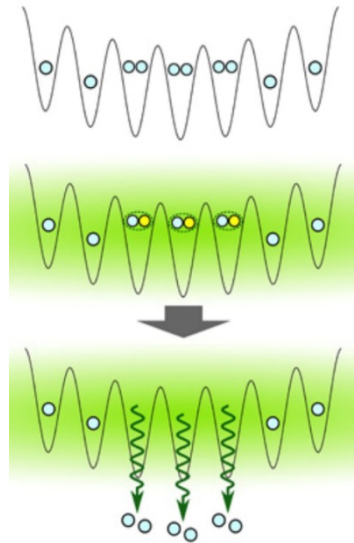
# イントロダクション： 非平衡多体物理

## 超伝導回路



R. Ma, et al., Nature **566**, 51 (2019)

## 冷却原子系



T. Tomita, et al.,  
Sci. Adv. **3**, e1701513 (2017).

## アクティブマター

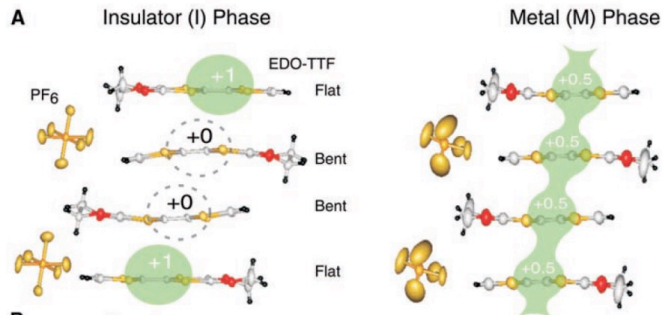


For review, see e.g.,  
M. C. Marchetti, et al.,  
Rev. Mod. Phys. **85**, 1143 (2013).

熱平衡系における「自由エネルギー最小化原理」に縛られない、全く新しいクラスの物性やデバイス開発の可能性。

# 非平衡多体系でのみ起こる協力現象

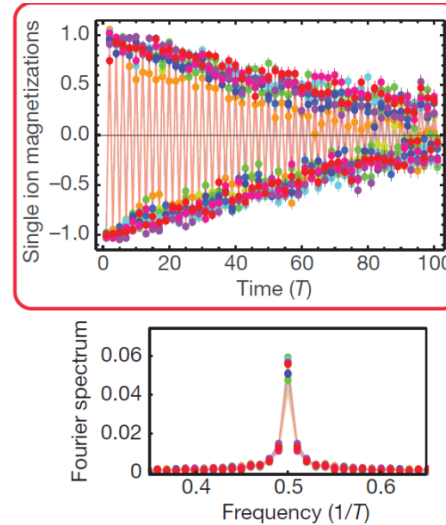
## 光誘起相転移



M. Chollet *et al.*, Science **307**, 86 (2006)

非平衡励起による相転移

## フロッケ時間結晶

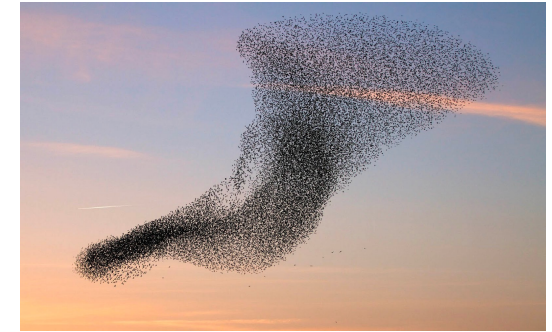


J. Zhang *et al.*, Nature **543**, 217 (2020)

熱平衡系では実現不可能

Watanabe and Oshikawa, PRL 2015

## 鳥の群れ



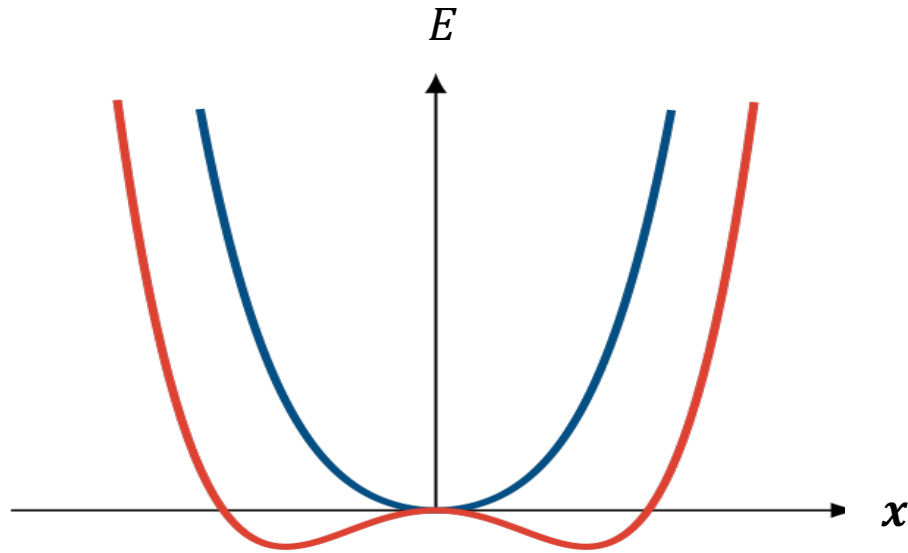
Vicsek *et al.*, PRL1995,  
Toner and Tu PRL1995, PRE1998  
実験: Nishiguchi, *et al.*, PRE2017

空間 2 次元系での長距離秩序

H. Tasaki PRL2020  
L. P. Dadhichi, *et al.*, PRE2020

しかし、まだまだ多くのことが未開拓.

# 多体系の熱平衡状態 (自由)エネルギー—最小化原理



エネルギー

$$E = - \sum_{i,j} J_{ij} \cos(x_j - x_i)$$

基底状態: エネルギー  $E$  を最小化する  $x = \{x_i\}$

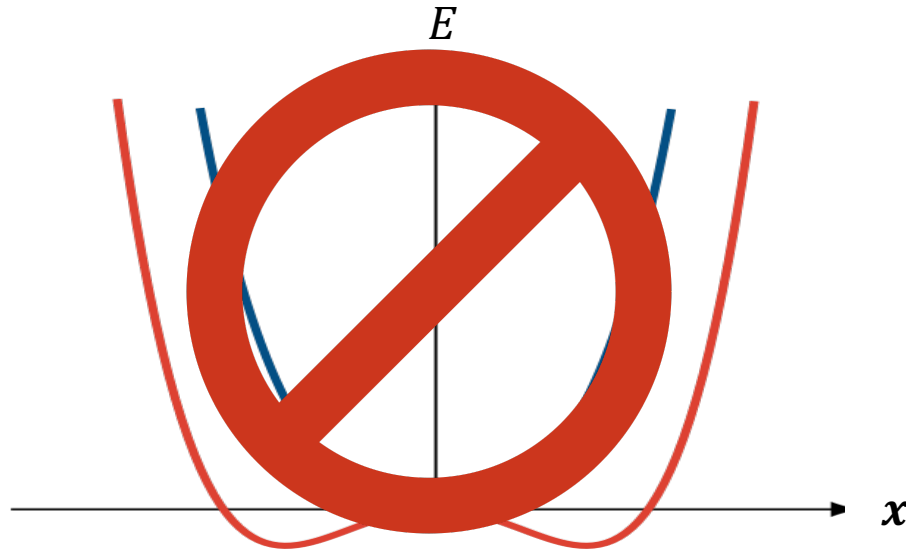
相反的な結合

$$J_{ij} = J_{ji}$$



# 多体系の~~熱平衡~~状態

(自由)エネルギー **非平衡** 最小化原理



エネルギー

$$E = - \sum_{i,j} J_{ij} \cos(x_j - x_i)$$

基底状態: エネルギー  $E$  を最小化する  $x = \{x_i\}$

相反的結合

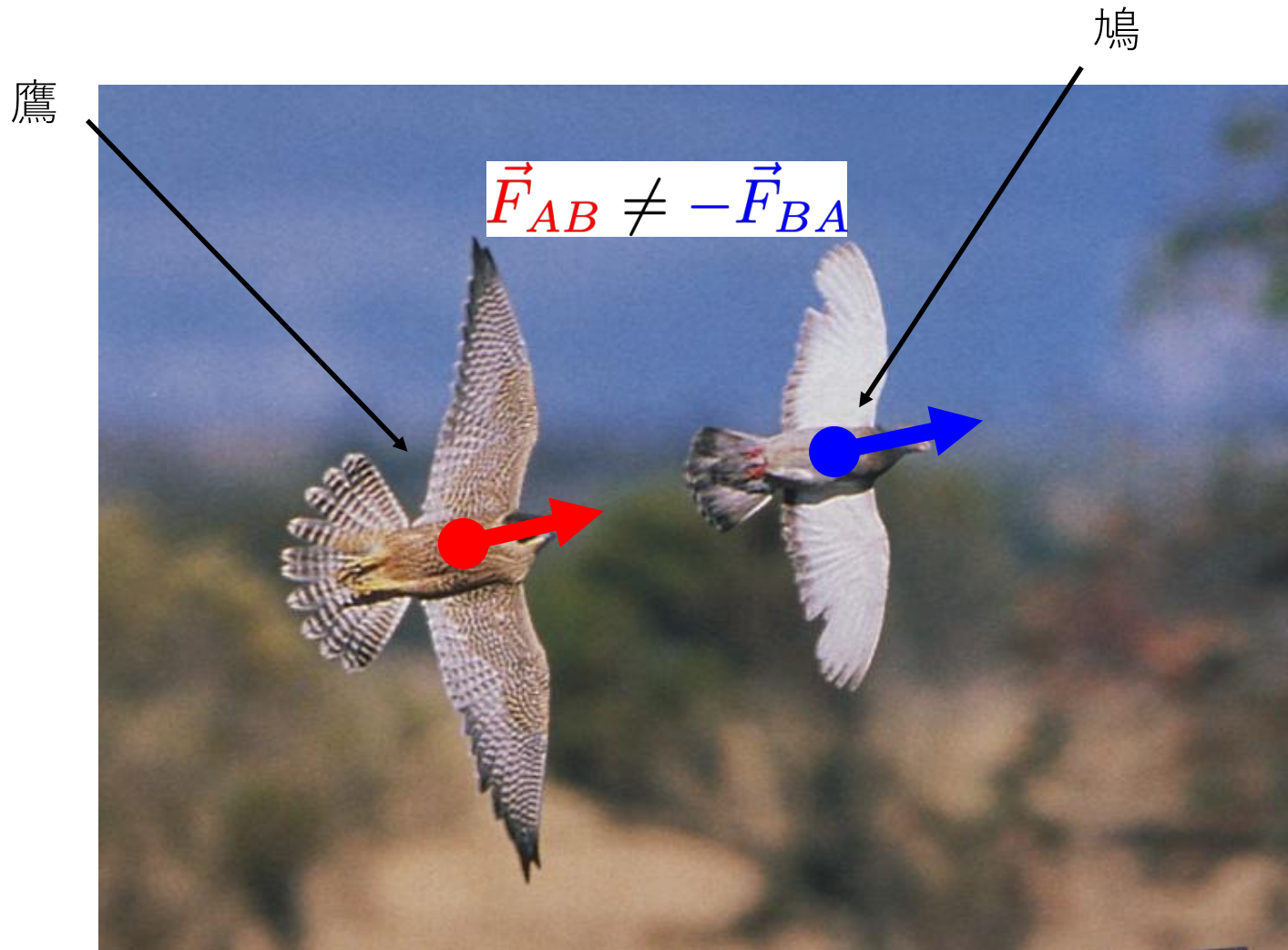
$$J_{ij} = J_{ji}$$

非相反な結合

$$J_{ij} \neq J_{ji}$$

が許される!

# 非相反相互作用



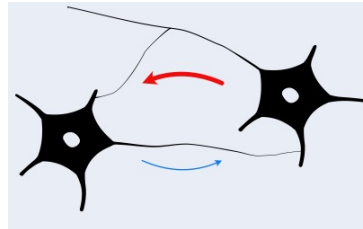
# 非相反相互作用する系

## 生態系



<http://animal.memozee.com/view.php?tid=3&did=3513>

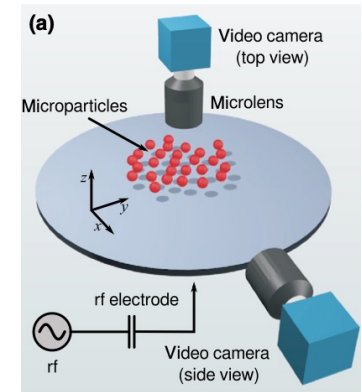
## 促進性と抑制性の ニューロン



e.g., J. W. Krakauer, et al., Neuron 93, 480 (2017).

## 非平衡系

(複雑プラズマ系)



Ivlev, et al., PRX 5, 011035 (2015).

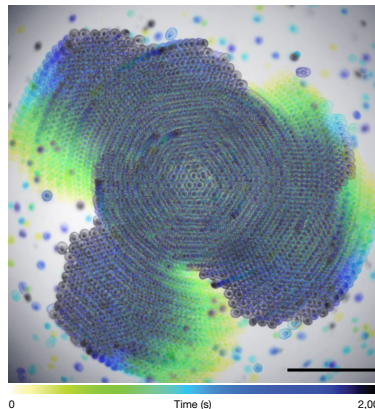
## ソーシャル・ネットワーク



e.g., A. Pluchino, et al., Inter. J. Mod. Phys. C 16, 515 (2005).

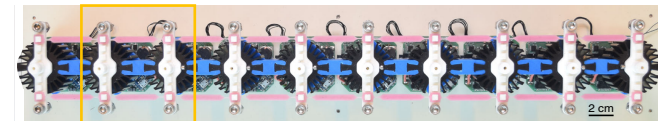
## 生物系

(ヒトデの胚)



T. H. Tan, et al., Nature 2022

## ロボティック・ メタマテリアル



Brandenbourger, et al., Nat. Comm. 2019

Ghatak, et al., PNAS 2020

Baconnier, et al., Nat. Phys. 2022

# 非相反相互作用する系

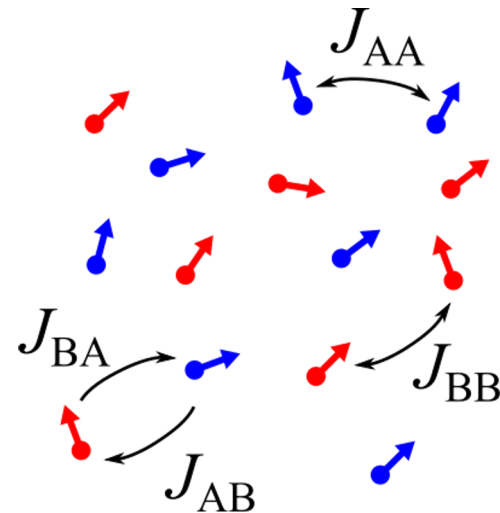
促進性と抑制性の

非平衡系

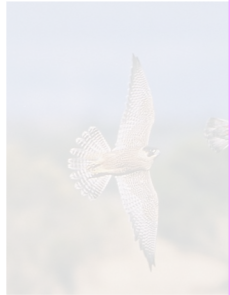
生態系

## “非相反マター”

非相反相互作用する多体系はどのような集団的性質が示すか

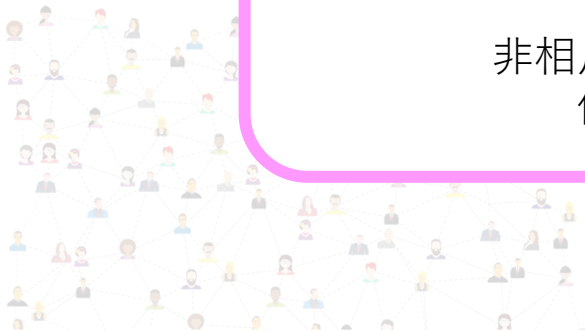


非相反相互作用する  
個体の集団

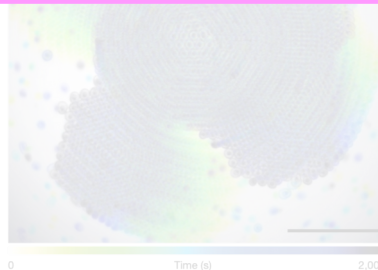


<http://animal.mech.uw.edu/~pluchino/>

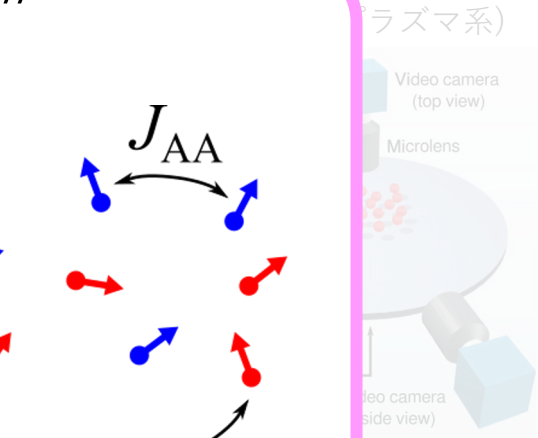
ソーシャル



e.g., A. Pluchino, et al., Inter. J. Mod. Phys. C 16, 515 (2005).



T. H. Tan, et al., Nature 2022



5, 011035 (2015).

ック・リアル

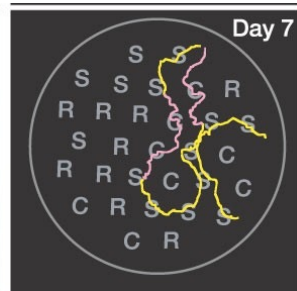
Brandenbourger, et al., Nat. Comm. 2019

Ghatak, et al., PNAS 2020

Baconnier, et al., Nat. Phys. 2022

# 非相反多体系で誘起される現象

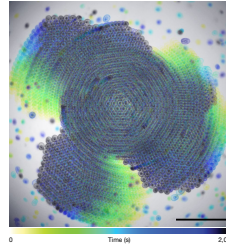
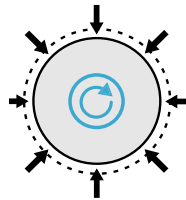
## 種のも様性の維持



B. Kerr, et al., Nature 2002

S. Allesina and S. Tang, Nature 2012

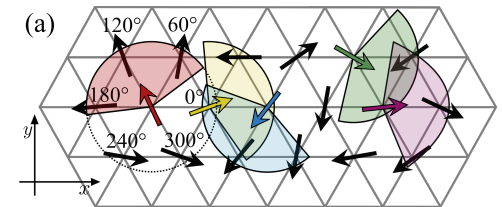
## 奇弾性



C. Scheibner, et al., Nat. Phys. 2020

T. H. Tan, et al., Nature 2022

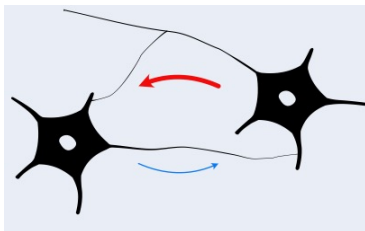
## 2次元系における 長距離秩序



Loos, Klapp, and Martynek, arXiv:2206.10519

Dadhichi, et al., Phys. Rev. E 2020

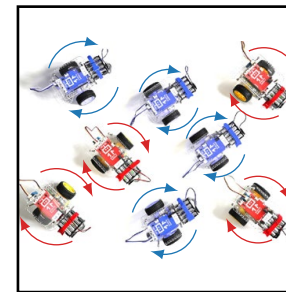
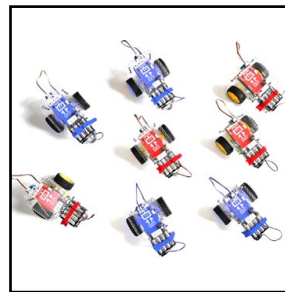
## 脳の制御



H. Wilson and J. Cowan,  
Biophys. J. 1972

G. Parisi, J. Phys. A 1986

## 非相反相転移



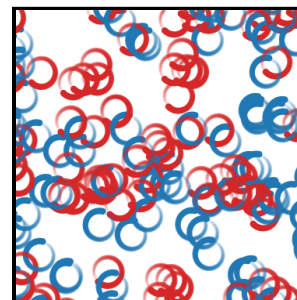
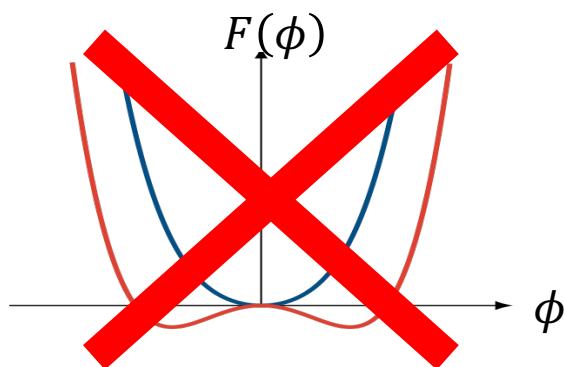
M. Fruchart\*, RH\*, P. B. Littlewood, and V. Vitelli, Nature 2021

# [I] 非相反相転移の物理

Fruchart\*, Hanai\*, Littlewood, Vitelli, Nature 592, 363 (2021)

Hanai, Littlewood, Phys. Rev. Res. 2, Phys. Rev. Res. 2, 033018 (2020).

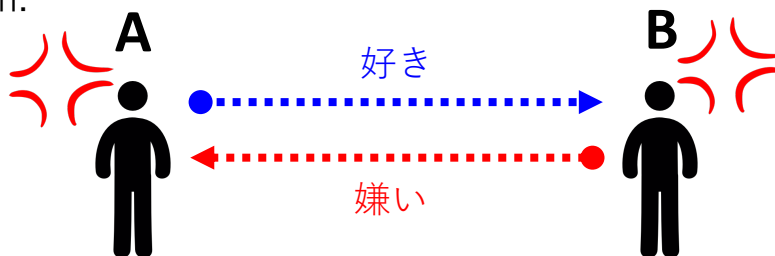
Weis, Fruchart, Hanai, Kawagoe, Littlewood, Vitelli, arXiv:2207.11667



# [II] 非相反フラストレーションの物理

Hanai, arXiv: 2208.08577

Hanai, in preparation.

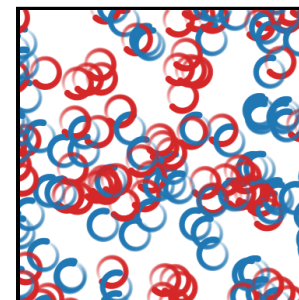
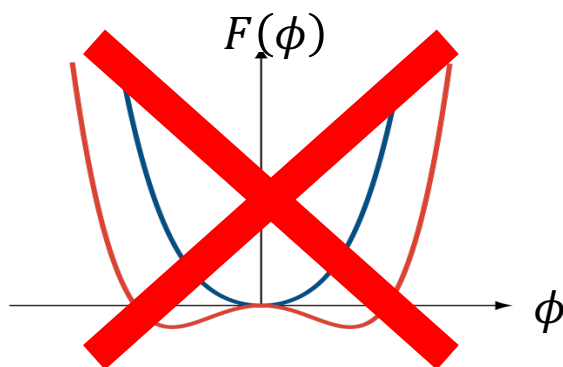


# [I] 非相反相転移の物理

Fruchart\*, [Hanai\\*](#), Littlewood, Vitelli, Nature 592, 363 (2021)

[Hanai](#), Littlewood, Phys. Rev. Res. 2, Phys. Rev. Res. 2, 033018 (2020).

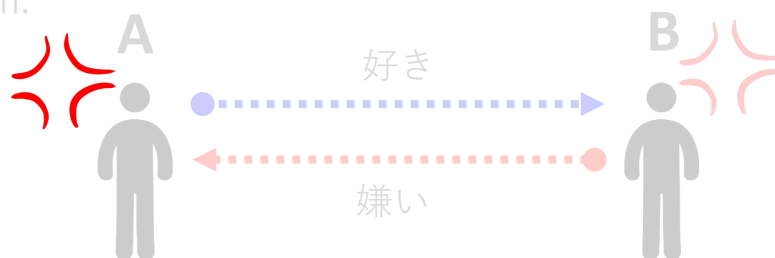
Weis, Fruchart, [Hanai](#), Kawagoe, Littlewood, Vitelli, arXiv:2207.11667



# [II] 非相反フラストレーションの物理

[Hanai](#), arXiv: 2208.08577

[Hanai](#), in preparation.





# 相転移現象

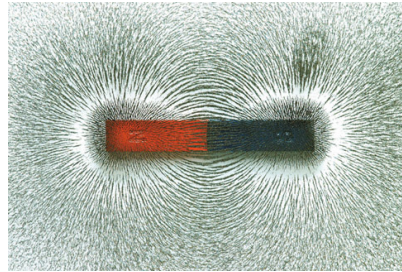
## 熱平衡系の相転移

### 気液相転移



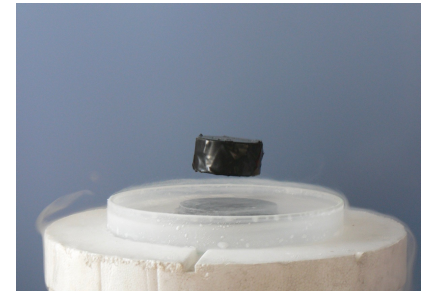
<https://mineral-medix.com/water-boiling/>

### 磁性



[http://kids.gakken.co.jp/kagaku/nanodemo/0808\\_1.html](http://kids.gakken.co.jp/kagaku/nanodemo/0808_1.html)

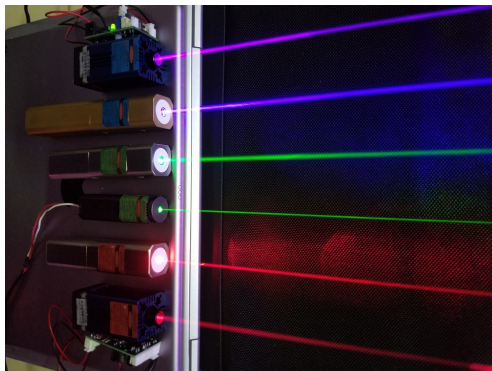
### 超伝導



(image from Wikipedia)

## 非平衡相転移

### レーザー



(image from Wikipedia)

### 同調現象 (蛍)



from BBC

<http://www.bbc.com/travel/story/20170112-a-surreal-synchronised-wave-of-light>

### 群れ



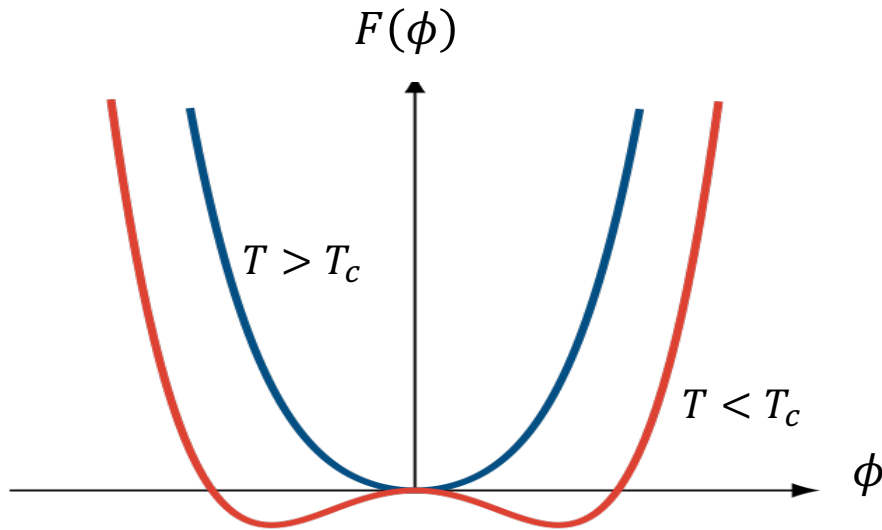
<https://blogs.sw.siemens.com/solidedge/stuff-to-do-at-seu-birds-of-a-feather/>

# 熱平衡系の相転移：

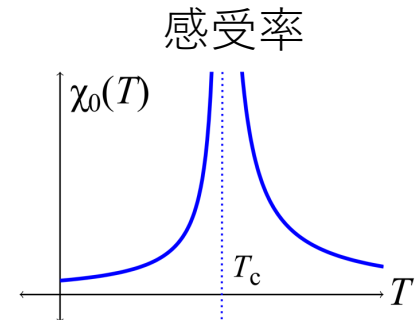
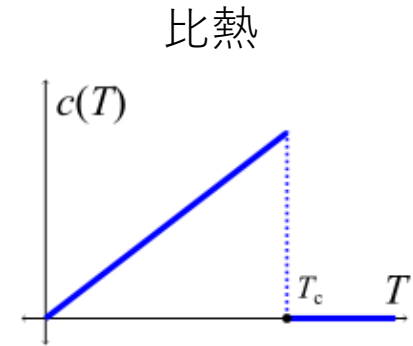
## ランダウ理論(=エネルギー最小化原理)

ランダウの自由エネルギー

$$F(\phi) = \alpha(T)|\phi|^2 + \beta|\phi|^4$$



$\phi$ : Generic order parameter (e.g.  $\phi = M$  for magnetism)



空間勾配と熱的ノイズ  
を加える



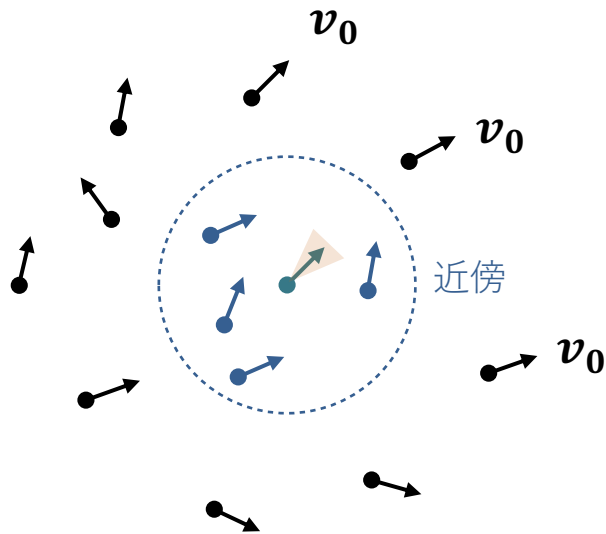
(ただし揺動散逸定理を満たす)

静的/動的臨界現象

Hohenberg and Halperin, Rev. Mod. Phys (1977)

# 非平衡相転移における「ランダウ理論」

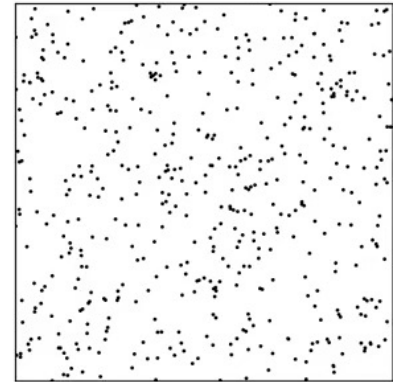
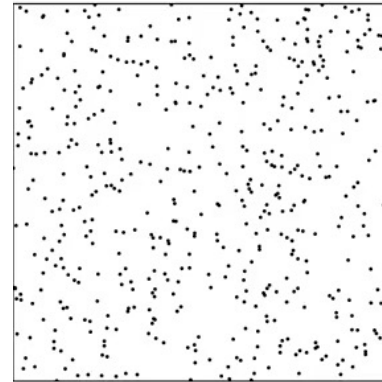
## ➤ 群れ



Vicsek PRL 1995

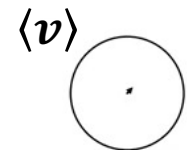
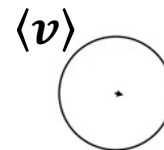
無秩序相

群れ相



$$\theta_i(t + \Delta t) = \langle \theta_j \rangle_{j \in \text{近傍}} + \eta(t)$$

近傍の鳥と  
向きを揃える      ノイズ



自発的対称性の破れ

# 非平衡相転移における「ランダウ理論」

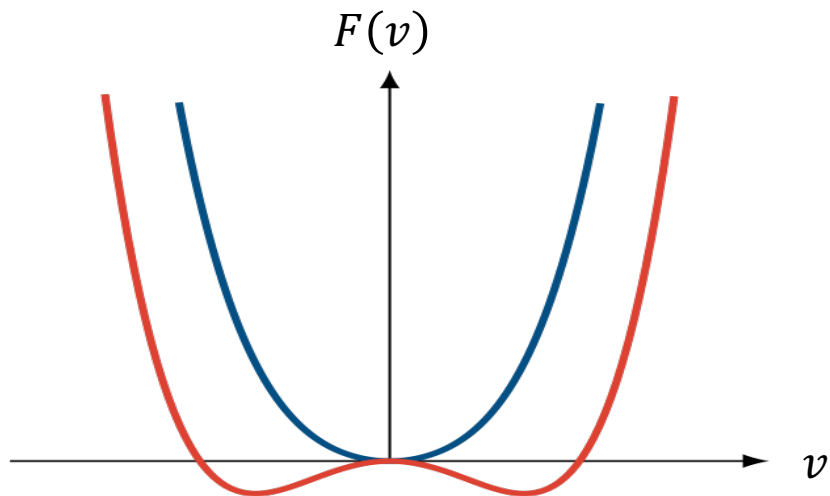
➤ 群れ

(熱平衡系では通常起こらない)  
2次元系での長距離秩序をもたらす

$$\partial_t \mathbf{v} + \mathbf{v} \cdot \nabla \mathbf{v} = -\frac{\delta F(\mathbf{v})}{\delta \mathbf{v}} + D \nabla^2 \mathbf{v} + \xi,$$

Toner and Tu PRL 1995

「ランダウ自由エネルギー」  $F(\mathbf{v}) = \alpha |\mathbf{v}|^2 + \beta |\mathbf{v}|^4$

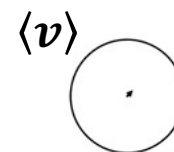
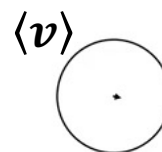
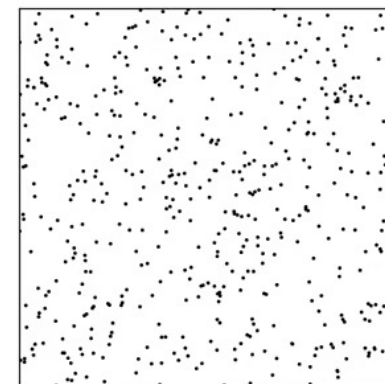
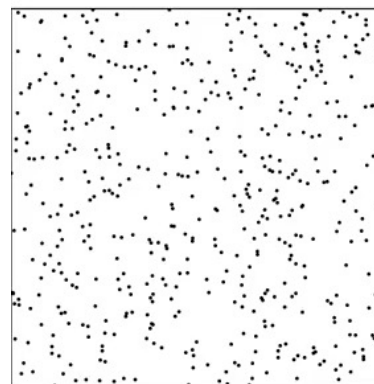


ランダウ理論は有効!

Vicsek PRL 1995

無秩序相

群れ相



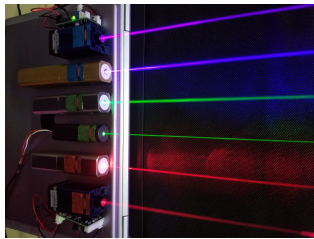
自発的対称性の破れ

相 : エネルギー最小化原理で決定

# 非平衡相転移における「ランダウ理論」

## ➤ レーザー

$$\begin{aligned} \partial_t n_{\text{coh}} &= -(\gamma_{\text{loss}} - \gamma_{\text{gain}})n_{\text{coh}} - \Gamma n_{\text{coh}}^2 \\ &= -\frac{\delta F(n_{\text{coh}})}{\delta n_{\text{coh}}} \end{aligned}$$

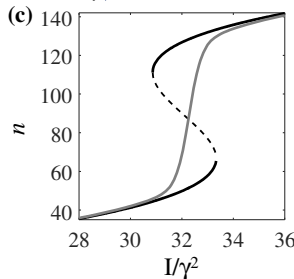
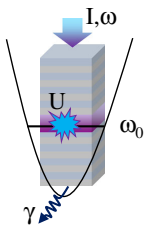


(Image from wikipedia)

## ➤ 光学双安定

$$\begin{aligned} \partial_t c &= \nabla^2 c + hc + rc^2 + vc^3 + uc^4 + \eta \\ &= -\frac{\delta F}{\delta c} \end{aligned}$$

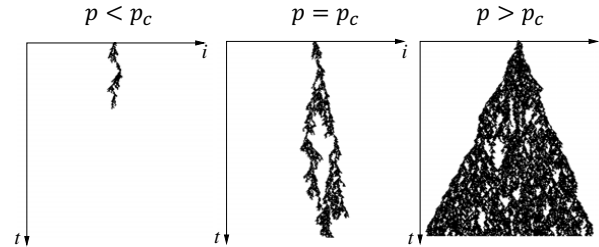
Maghrebi and Gorshkov PRB2016.



S.R.K Rodriguez, et al., PRL2017.

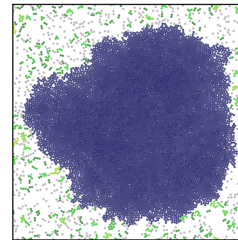
## ➤ 異方的パーコレーション

$$\begin{aligned} \partial_t \rho &= -\gamma\rho - \beta\rho^2 + D\nabla^2\rho + \sqrt{\rho}\eta, \\ &= -\frac{\delta F}{\delta \rho} \end{aligned}$$



## ➤ 運動誘起相分離

$$\partial_t \rho = \nabla \cdot \mathbf{v}_e(\rho) \frac{\delta F(\rho)}{\delta \rho} + \eta + O(\nabla)$$

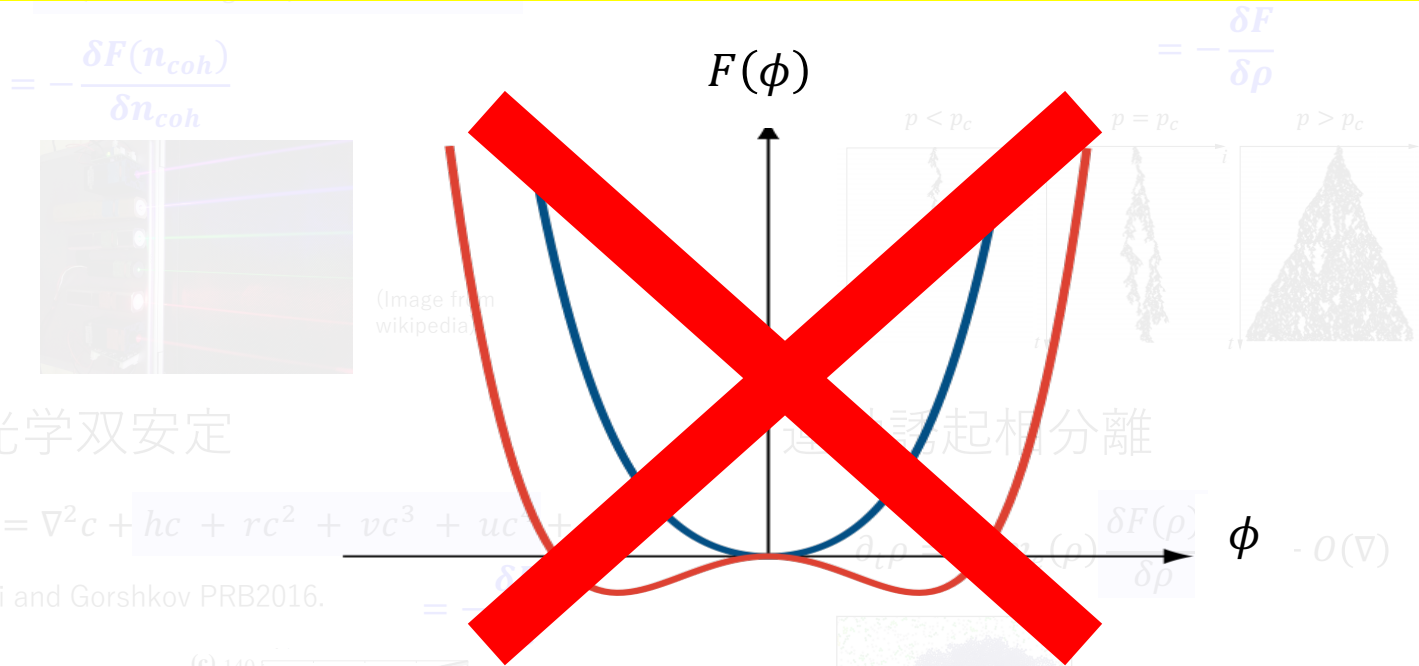


Fily and Marchetti PRL2012

Cates and Tailleur, Annu. Rev. Condens. Matter Phys. 2015

# 本発表

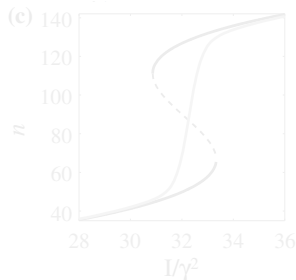
## エネルギー最小化原理では記述できない相転移現象 「非相反相転移」



➤ 光学双安定

$$\partial_t c = \nabla^2 c + hc + rc^2 + vc^3 + uc^4 + \partial_t \rho$$

Maghrebi and Gorshkov PRB2016.



S.R.K Rodriguez, et al., PRL2017.

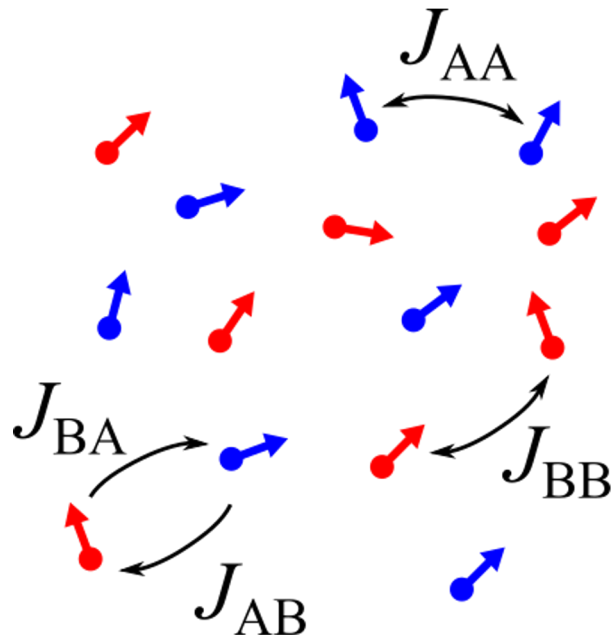
Fily and Marchetti PRL2012

Cates and Tailleur, Annu. Rev. Condens. Matter Phys. 2015



# 非相反群れモデル

2グループ非相反Vicsekモデル



$$J_{AB} \neq J_{BA}$$

$$\begin{aligned} \partial_t \theta_i &= \sum_j J_{ij} \sin(\theta_j - \theta_i) + \eta(t) \\ &\neq -\frac{\partial V}{\partial \theta_i} \end{aligned}$$



# 非相反群れモデル

相反の ( $J_{AB} = J_{BA} > 0$ )

相反の ( $J_{AB} = J_{BA} < 0$ )

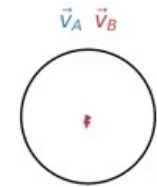
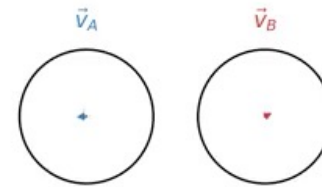
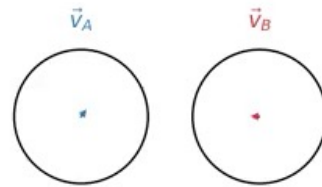
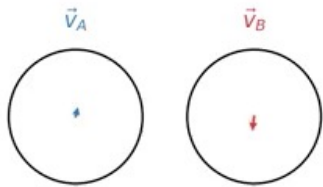
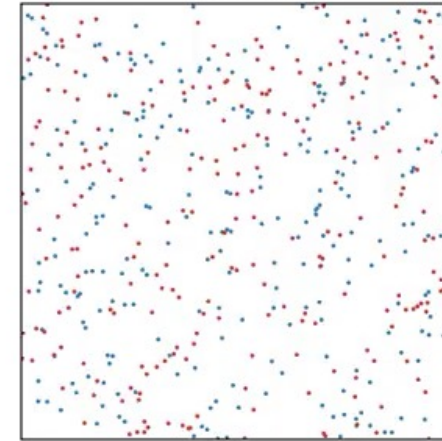
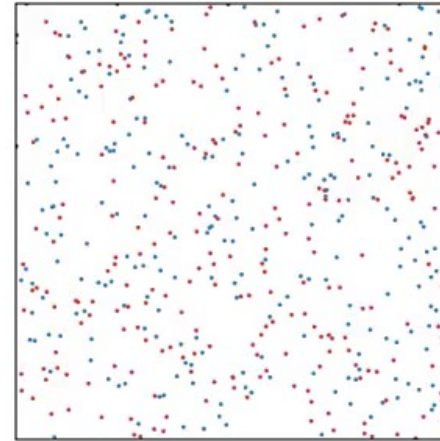
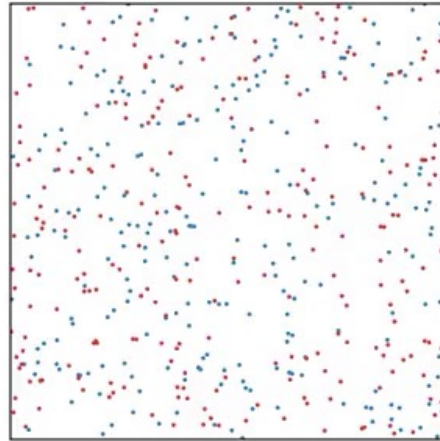
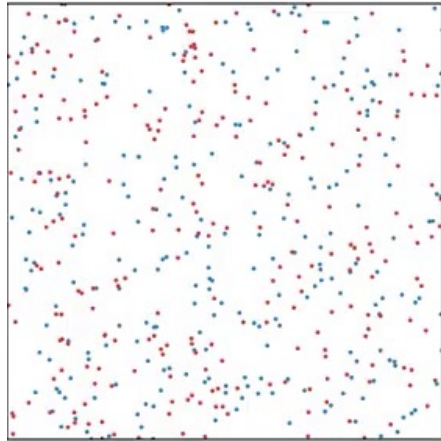
非相反の ( $J_{AB}J_{BA} < 0$ )

ノイズ大

ノイズ小

ノイズ小

ノイズ小



無秩序相

強磁性相

反強磁性相

非相反性に誘起された  
カイラル相

自発的  
 $Z_2$  対称性の破れ

# ランダウ理論の非平衡系への拡張

c.f. ランダウ理論:

現象論的ランダウの自由エネルギー $F$ を書き下し、最小となるパラメータを求める

← 非平衡系には適用できない

オーダーパラメータの運動方程式

$$\partial_t \mathbf{v}_a = -[\alpha_{ab} \mathbf{v}_b + \beta_{abcd} (\mathbf{v}_b \cdot \mathbf{v}_c) \mathbf{v}_d] \left( \neq -\frac{\delta F(\phi)}{\delta \mathbf{v}_a} \text{!!!} \right)$$

非対称な係数

$$\alpha_{ab} \neq \alpha_{ba}$$

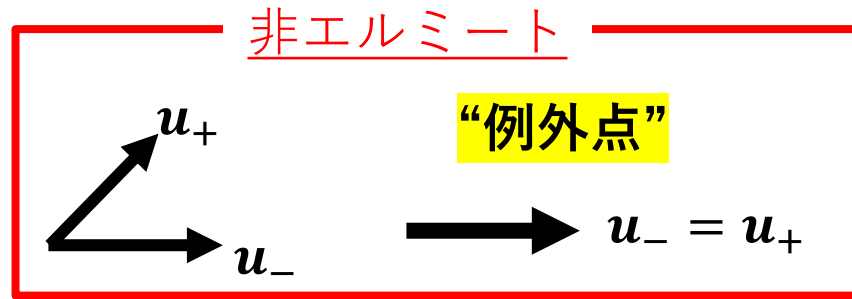
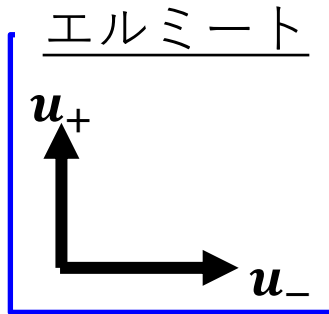
非平衡定常状態 (二成分系,  $\beta_{abcd} = \beta \delta_{ab} \delta_{cd}$ ):

$$0 = \partial_t \begin{pmatrix} \mathbf{v}_A \\ \mathbf{v}_B \end{pmatrix} = \begin{pmatrix} \alpha_{AA} + \beta |\mathbf{v}_A|^2 & \alpha_{AB} \\ \alpha_{BA} & \alpha_{BB} + \beta |\mathbf{v}_B|^2 \end{pmatrix} \begin{pmatrix} \mathbf{v}_A \\ \mathbf{v}_B \end{pmatrix}$$

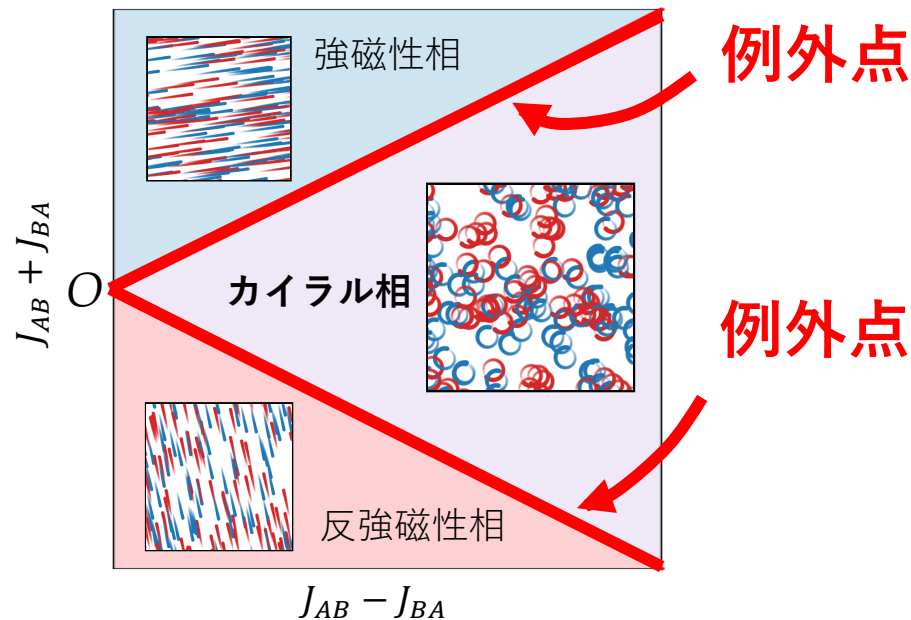
$$A \neq A^\dagger$$

➡ 非線形、非エルミートなゼロ固有値問題

# 非相反相転移



例外点において、非平衡相転移が起こる！



詳細釣り合い条件を破った、熱平衡系に対応物のない相転移現象.

# 非相反相転移

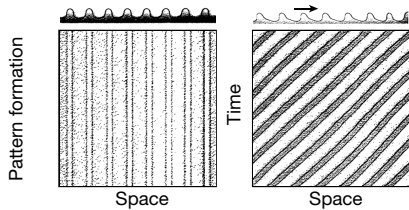
一般の非平衡秩序相で起こる!

(A) 非平衡性

(B) 自発的 (連続)  
対称性の破れ

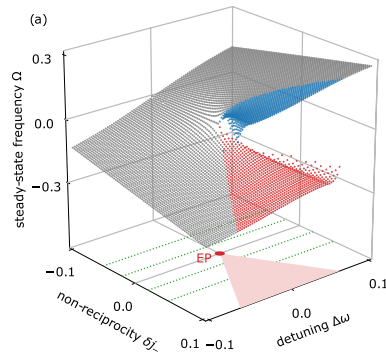
(C) 二成分 (以上)  
で構成されている

パターン形成

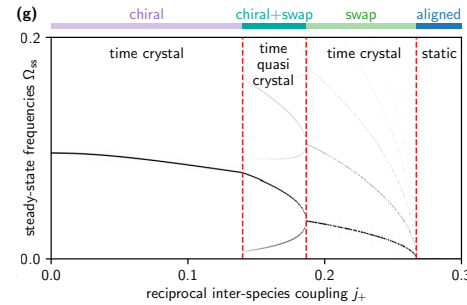


L Pan and J. R. de Bruyn,  
PRE1994

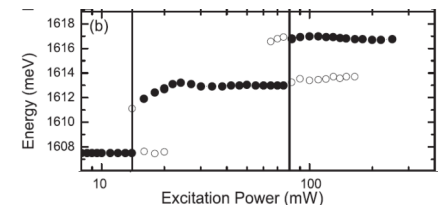
同期現象



群れ



開放量子多体系

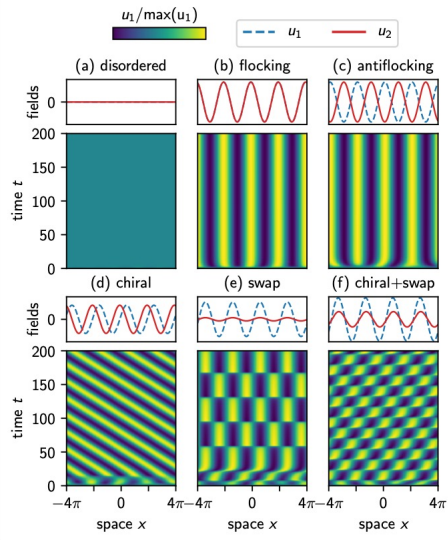


J. Tempel, et al PRB2012

RH, et al PRL2019

# パターン形成する系における進行波

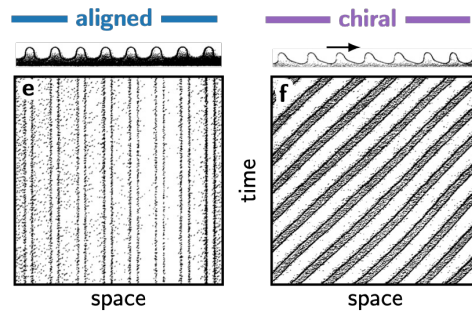
## 非相反Swift-Hohenbergモデル



$$\partial_t u_a = r_{ab} u_b - (1 + \nabla^2)^2 u_a - g u_a^3$$

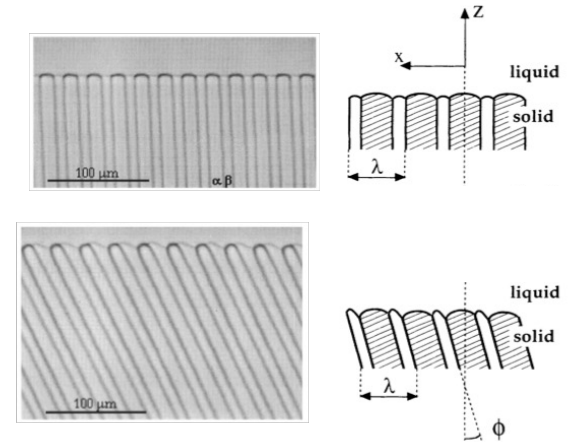
$$\partial_t A_a = \epsilon_{ab} A_b - g_{abcd} (\bar{A}_b A_c + \bar{A}_c A_b) A_d + D_{ab} \partial_x^2 A_b$$

## 粘性指状体



Pan and Bruyn PRE 1994

## 共晶成長



Faivre et al., PRA 1992

Ginibre et al., PRE 1997

## 液晶凝固

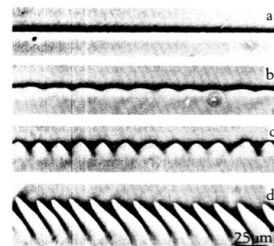
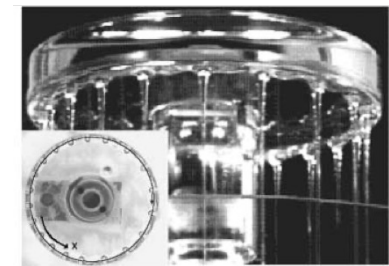


FIG. 2. The smectic layers oriented  $45^\circ$  with respect to the thermal gradient ( $G=76 \text{ K/cm}$ ;  $\Delta T \approx 0.4 \text{ K}$ ). (a) Flat, stationary interface; (b),(c)  $V=0.8 \mu\text{m/s}$ ; (d)  $V=0.95 \mu\text{m/s}$ .

Melo and Oswald PRL 1990

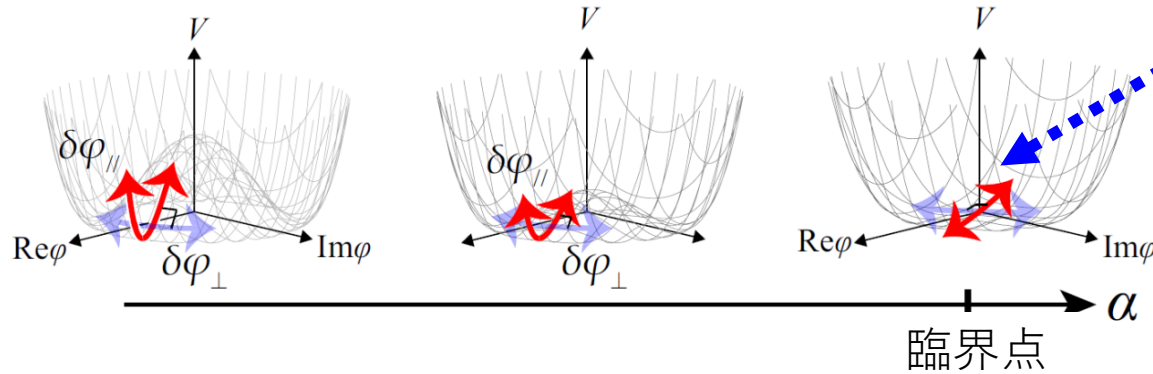
## わき水



Counillon et al., EPL 1997

# 例外点における特異な臨界現象

## 通常の臨界現象

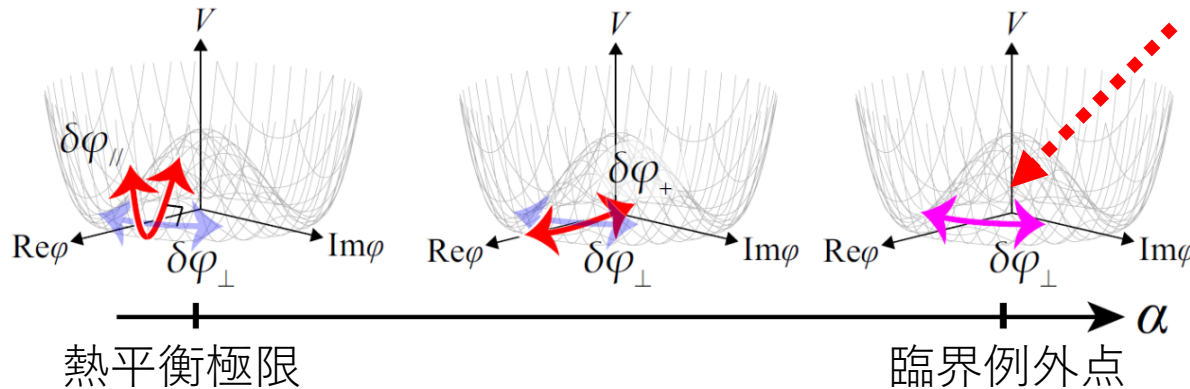


自由エネルギーが平らになる  
ことで臨界性が現れる

マーミンワグナーの定理

$$\langle (\delta\theta)^2 \rangle \sim \int dk k^{d-1} \frac{1}{k^2} \rightarrow \infty (d \leq 2)$$

## 非相反相転移における臨界現象



ゴールドストーンモードの合体

異常な揺らぎの増大

$$\langle (\delta\theta)^2 \rangle \sim \int dk k^{d-1} \frac{1}{k^4} \rightarrow \infty (d \leq 4)$$

新しい普遍性クラスの  
動的臨界現象[U(1)-symmetric]

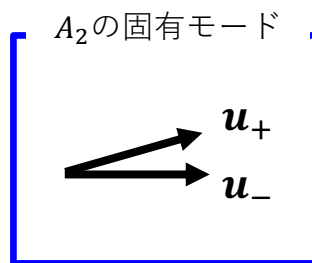
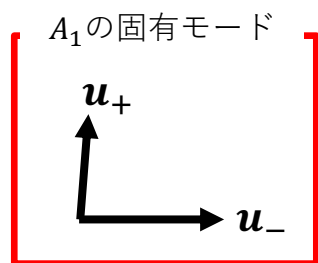
$$\chi = \frac{4-d}{2} - \frac{\epsilon}{10}, z = 1 (\epsilon = 8-d)$$

# 固有モードの非直交性による 異常な揺らぎの増大

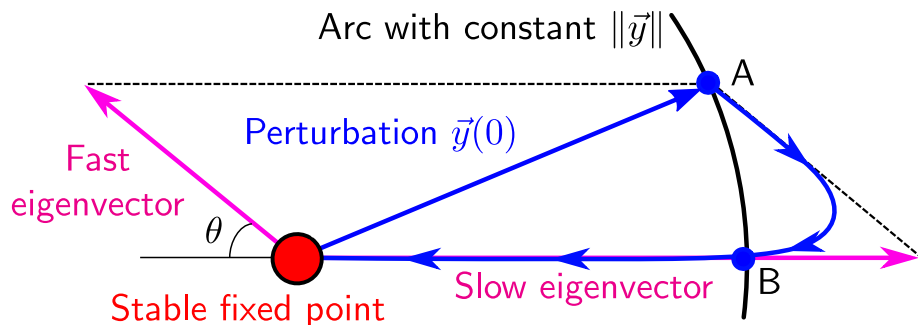
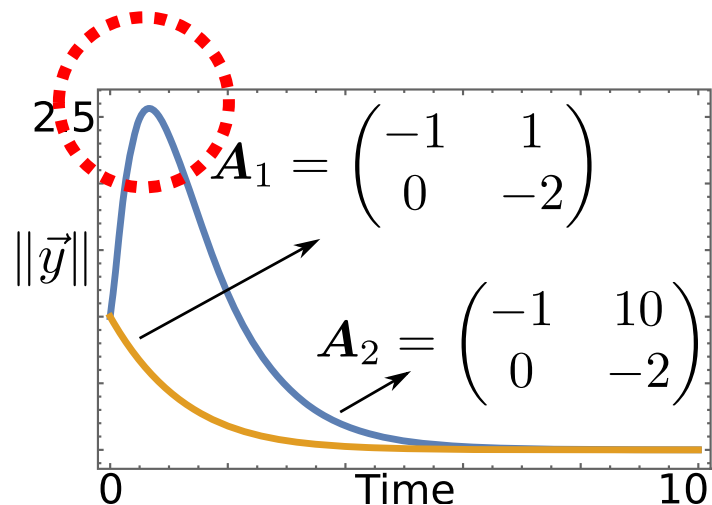
$$\frac{d}{dt} \begin{pmatrix} y_A \\ y_B \end{pmatrix} = A \begin{pmatrix} y_A \\ y_B \end{pmatrix}$$

$$A_1 = \begin{pmatrix} -1 & 1 \\ 0 & -2 \end{pmatrix}$$

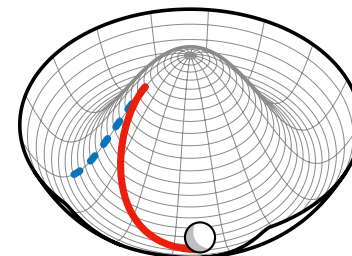
$$A_2 = \begin{pmatrix} -1 & 10 \\ 0 & -2 \end{pmatrix}$$



揺らぎの増大!



Our case



$$\lambda_1 = \lambda_2 = 0$$

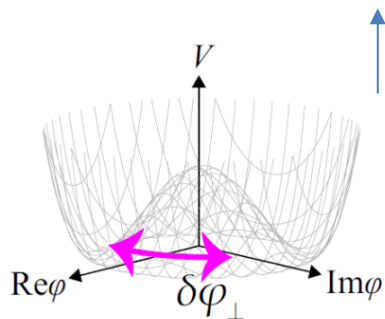


# 最近の進展：非相反相転移の拡張

(A) 非平衡性

(B) 自発的（連続）  
対称性の破れ

(C) 二成分（以上）  
で構成されている



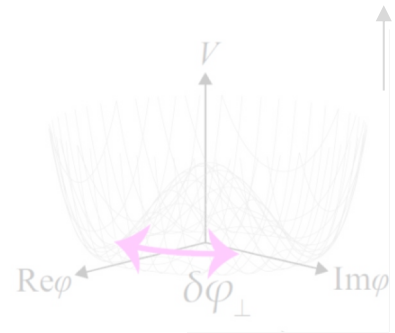
南部ゴールドストーンモード  
=ギャップレスモード

# 最近の進展：非相反相転移の**拡張**

(A) 非平衡性

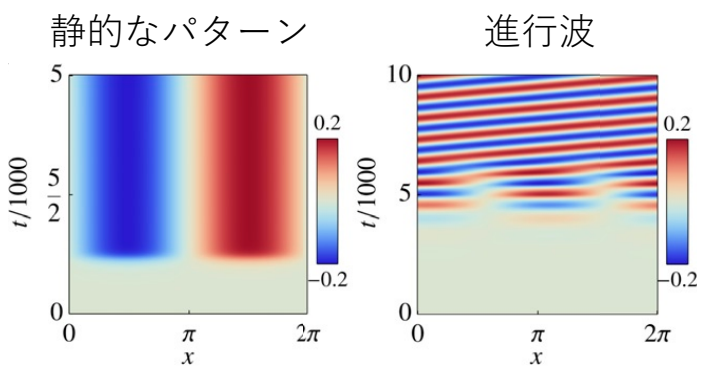
(B) 自発的（連続）  
対称性の破れ

(C) 二成分（以上）  
で構成されている

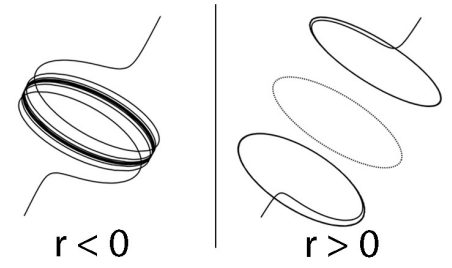


南部ゴールドストーンモード  
= **ギャップレスモード** ← **こちらが本質的**

➤ 保存量のある非相反系  
(モデルB, Cahn-Hilliard系)



➤ 保存量も自発的対称性の破れ  
も伴わない非相反系  
(リミットサイクル等のアトラクターが  
「合体」する系)



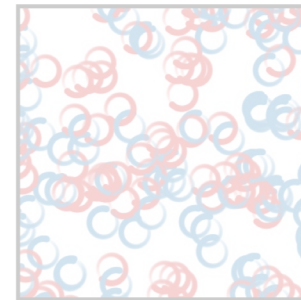
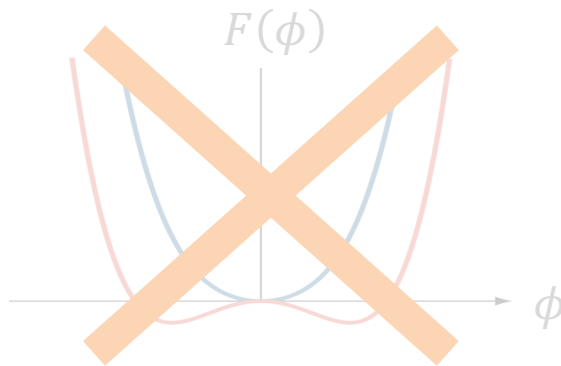
You, Baskaran, Marchetti, PNAS2020  
Saha, et al., PRX2020

共変リアプノフベクトルの合体による相転移(分岐)  
C. Weis, M. Fruchart, **RH**, et al., arXiv:2207.11667  
非相反Dickeモデル：Chiacchio, et al., arXiv:2302.06386

# 目次

## [I] 非相反相転移の物理

Fruchart\*, [Hanai\\*](#), Littlewood, Vitelli, Nature 592, 363 (2021)



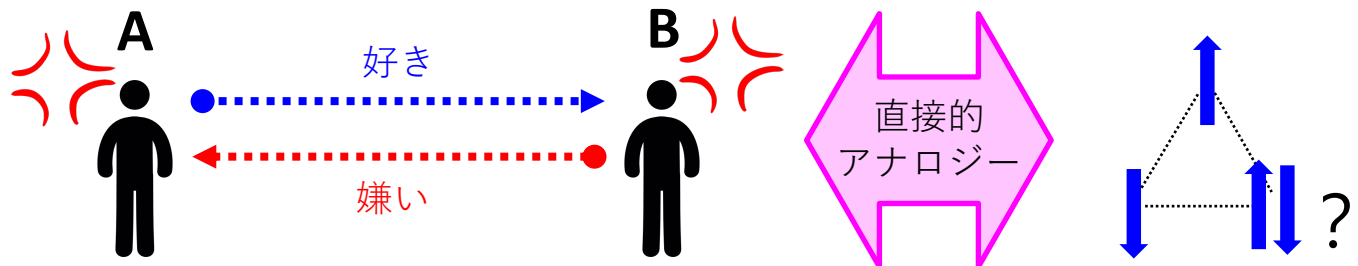
## [II] 非相反フラストレーションの物理

[Hanai](#), arXiv: 2208.08577

[Hanai](#), in preparation.

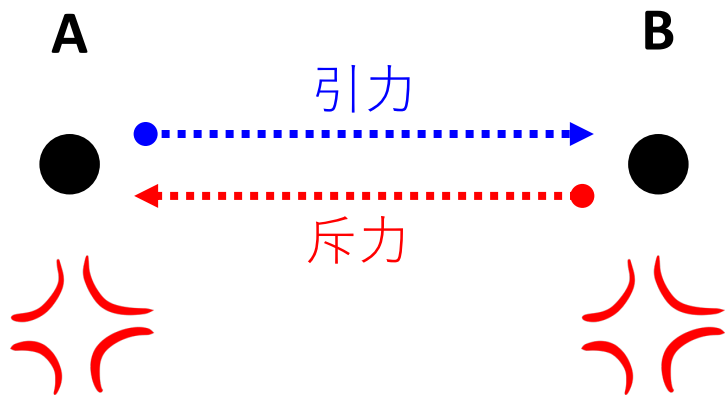
幾何学的

フラストレート系



# 非相反相互作用に誘起される フラストレーション

両方が満足する状態  
は存在しない



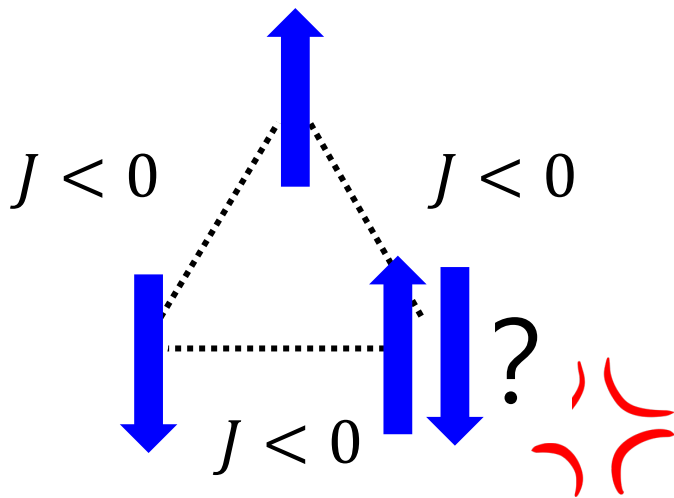
フラストレーション！

# 幾何学的フラストレーション

## 幾何学的フラストレーションのある系

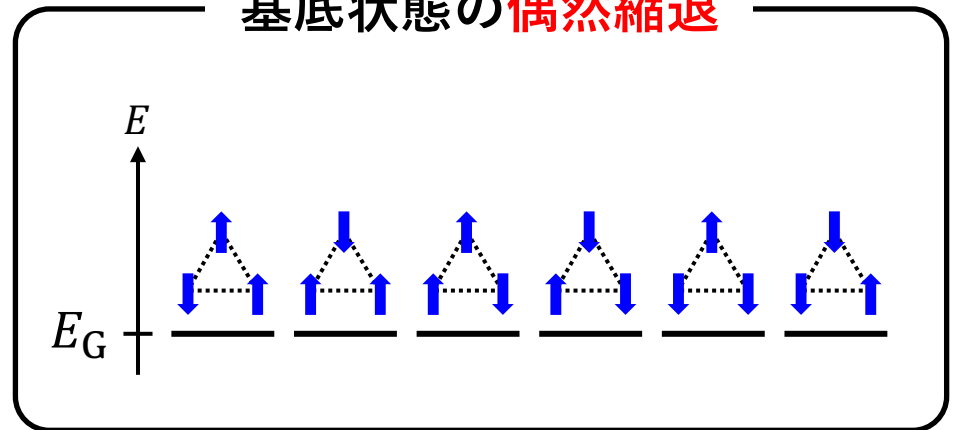
系の構成要素の全ての「要求」(=全ての相互作用エネルギーを最小化したい)を同時に満たすことのできない系

(例) 反強磁性相互作用する  
三角格子状のスピン系



全てのスピンの満足する状態は存在しない

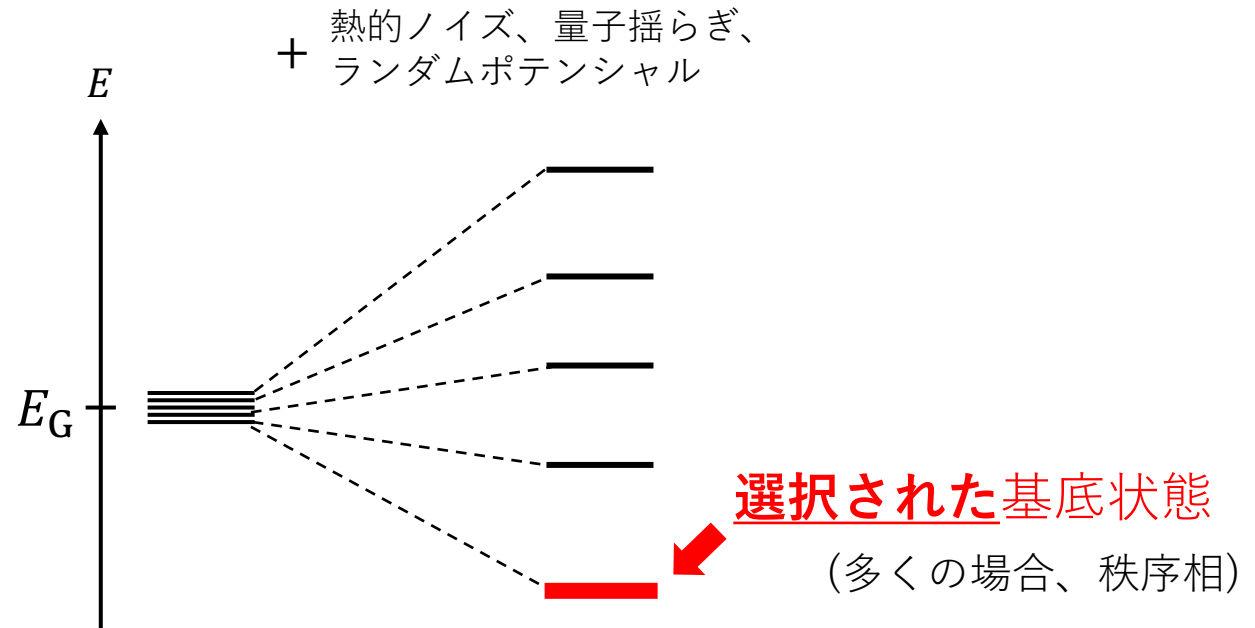
## 基底状態の偶然縮退



# 無秩序による秩序

Villain, et al., J. Physique (1980)

**偶然縮退**：対称性やトポロジー等に保護されていない



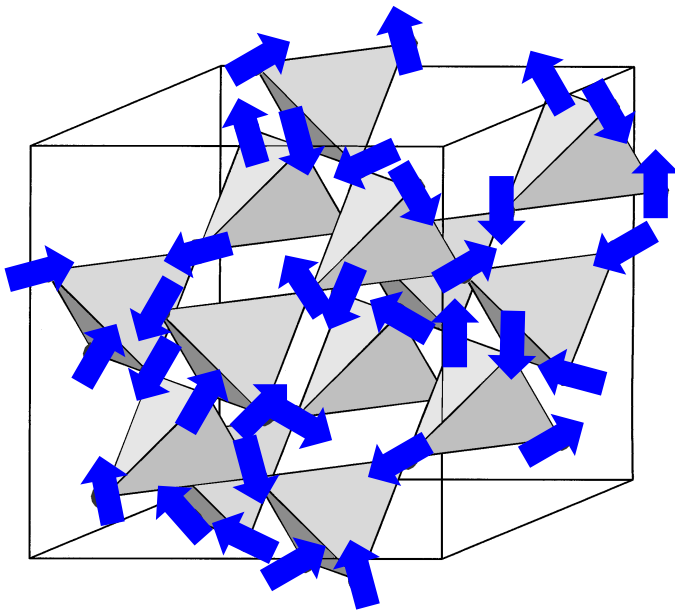
「無秩序による秩序」

# 無秩序による秩序

(例) パイロクロア格子上の反強磁性的XYスピン系

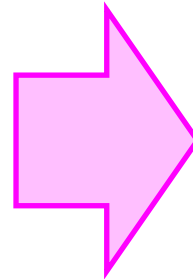
Moessner and Chalker, PRL1998, PRB1998

基底状態

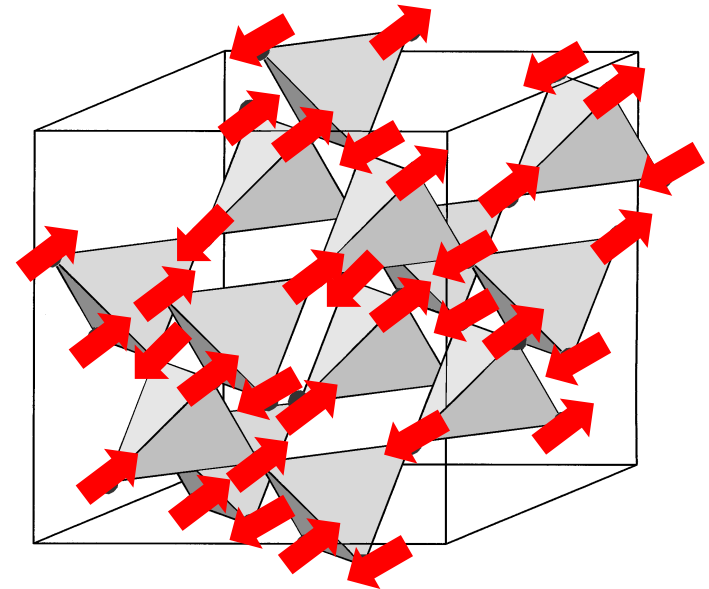


無秩序状態

温度を  
上げる



有限温度



長距離秩序状態

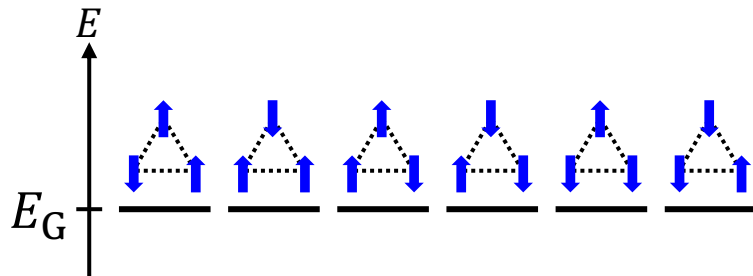


# 幾何学的 vs 非相反 フラストレーション

幾何学的

フラストレーション

基底状態の偶然縮退



非相反

フラストレーション



そもそもエネルギーを  
定義できない…

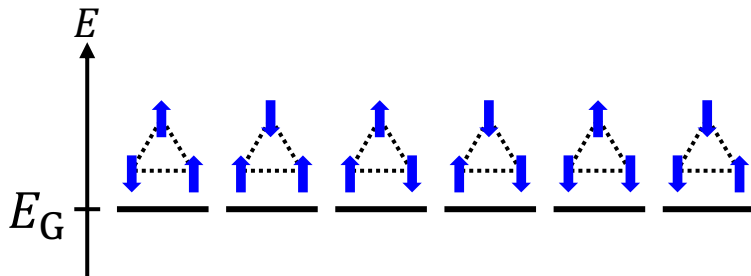
静止した状態に収束  
するとは限らない…

# 幾何学的 vs 非相反 フラストレーション

幾何学的

フラストレーション

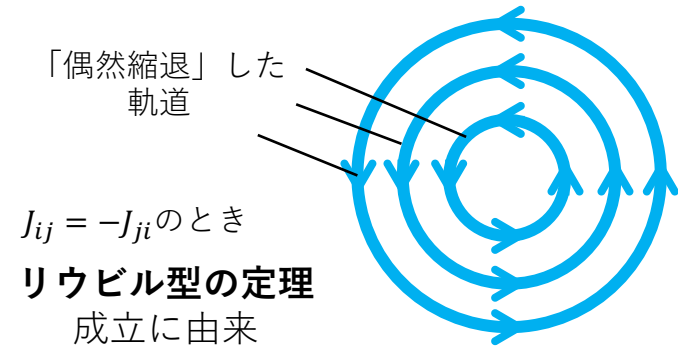
基底状態の偶然縮退



非相反

フラストレーション

(力学系の意味での) 軌道の「偶然縮退」



➤ 無秩序による秩序や、スピンガラス (に類似の状態) の動的対応物が出現

# XYスピン系の散逸ダイナミクス

$$\dot{\theta}_i = \sum_j J_{ij} \sin(\theta_j - \theta_i)$$

ただし、一般には非相反  $J_{ij} \neq J_{ji}$

➤ 相反的な場合 ( $J_{ij} = J_{ji}$ ) : エネルギー最小値問題に帰着

$$\dot{\theta}_i = -\frac{\partial V(\theta)}{\partial \theta_i} \quad \text{ただし} \quad V(\theta) = -\sum_{i,j} J_{ij} \cos(\theta_j - \theta_i)$$

幾何学的フラストレーションのある場合は基底状態が偶然縮退

# 軌道の「偶然縮退」

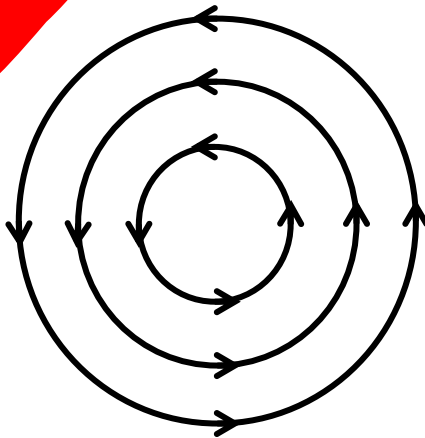
- 完全反相反的な場合 ( $J_{ij} = -J_{ji}$ )

リウビル型の定理

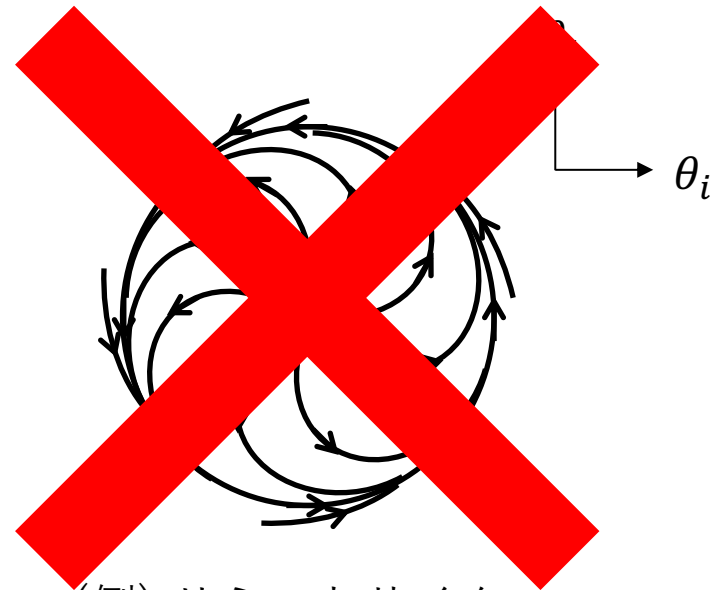
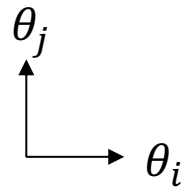
$$\frac{d\rho}{dt} = \frac{\partial \rho}{\partial t} + \sum_i \frac{\partial \rho}{\partial \theta_i} \dot{\theta}_i = 0$$

RH, arXiv:2208.08577

- 位相体積の保存 = 散逸のない運動



マージナル



(例) リミットサイクル

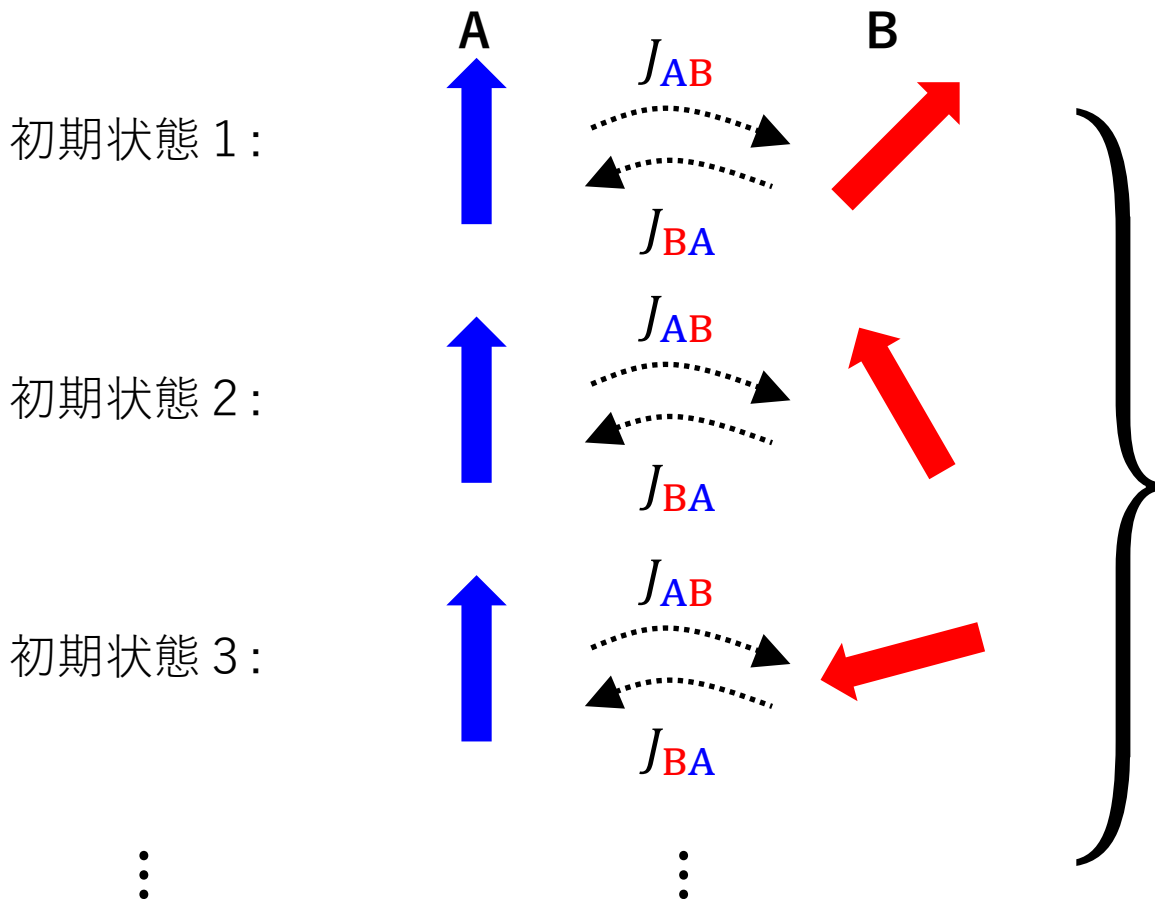
# 軌道の「偶然縮退」

(2つのXYスピンの場合)

$$J_{AB} = -J_{BA}$$

$$\dot{\theta}_A = J_{AB} \sin(\theta_B - \theta_A)$$

$$\dot{\theta}_B = J_{BA} \sin(\theta_A - \theta_B)$$

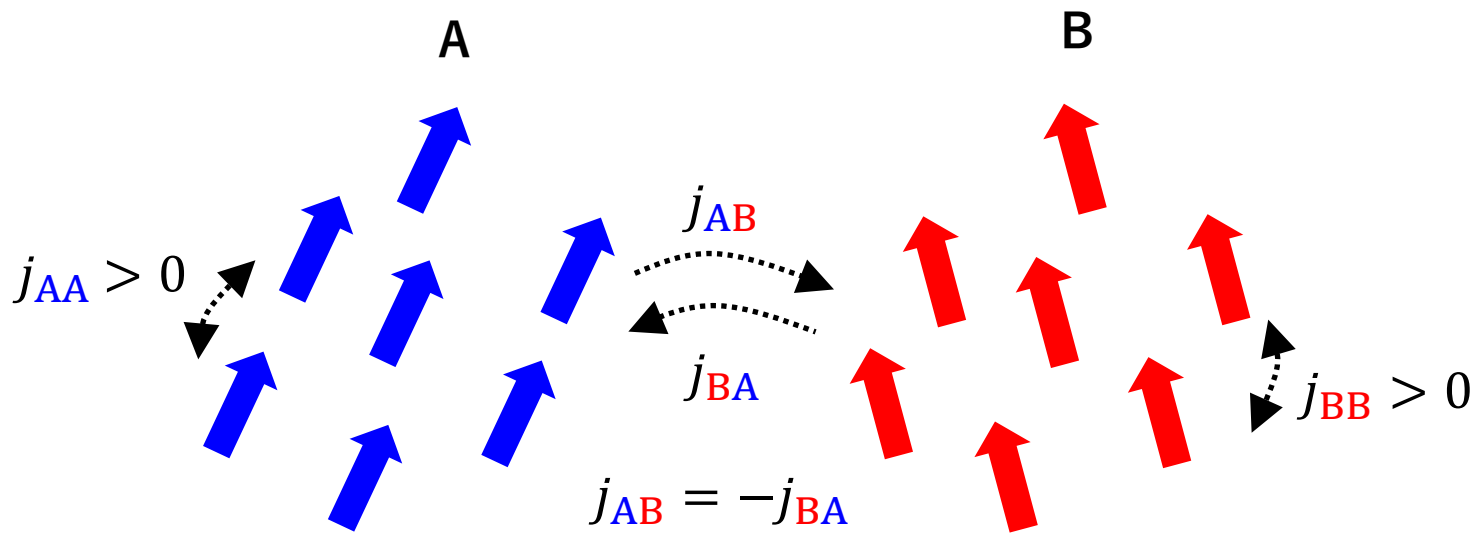


(非相反フラストレーションにより)

偶然縮退した  
軌道

# 非相反二成分系

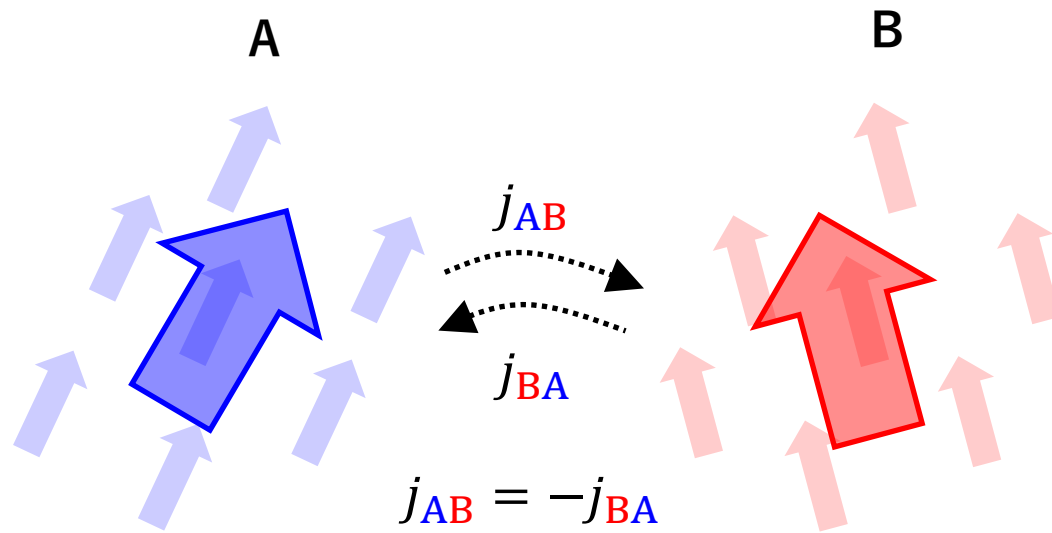
$$\dot{\theta}_i^a = \sum_b \sum_{i=1}^{N_b} \frac{j_{ab}}{N_b} \sin(\theta_j^b - \theta_i^a)$$



# 非相反二成分系

$$\dot{\theta}_i^a = \sum_b \sum_{i=1}^{N_b} \frac{j_{ab}}{N_b} \sin(\theta_j^b - \theta_i^a)$$

「偶然縮退」が  
 $\Delta\phi = \phi_A - \phi_B$   
でパラメタライズ  
される



マクロなスピン(ノイズなし)

$$\dot{\phi}_a = \sum_b j_{ab} \sin(\phi_b - \phi_a)$$

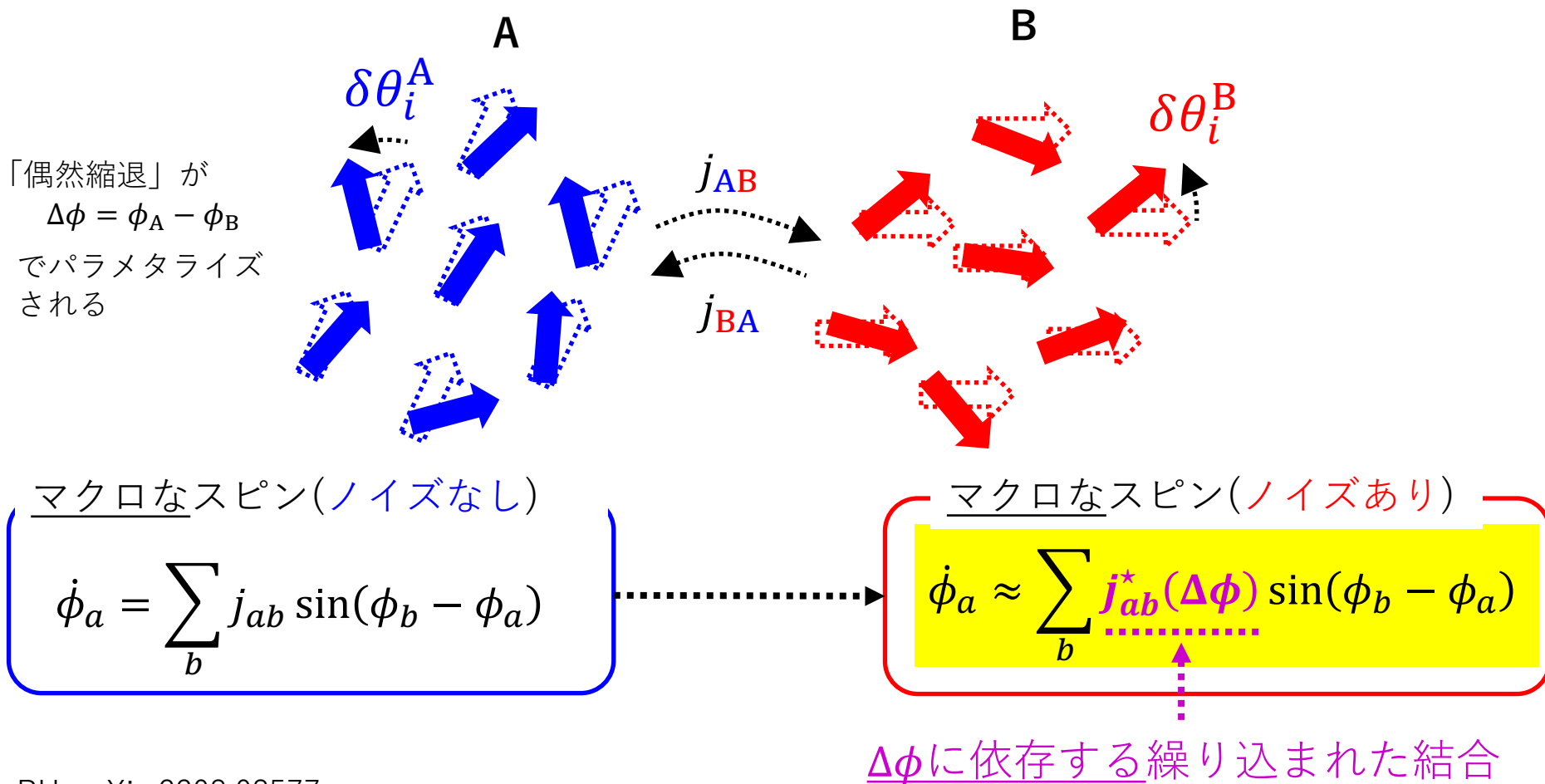
# 非相反二成分系

$$\dot{\theta}_i^a = \sum_b \sum_{i=1}^{N_b} \frac{j_{ab}}{N_b} \sin(\theta_j^b - \theta_i^a) + \eta_i^a$$

ノイズ

$+\eta_i^a$

揺らぎ  $\delta\theta_i^a$  の確率分布が  $\Delta\phi$  に依存する

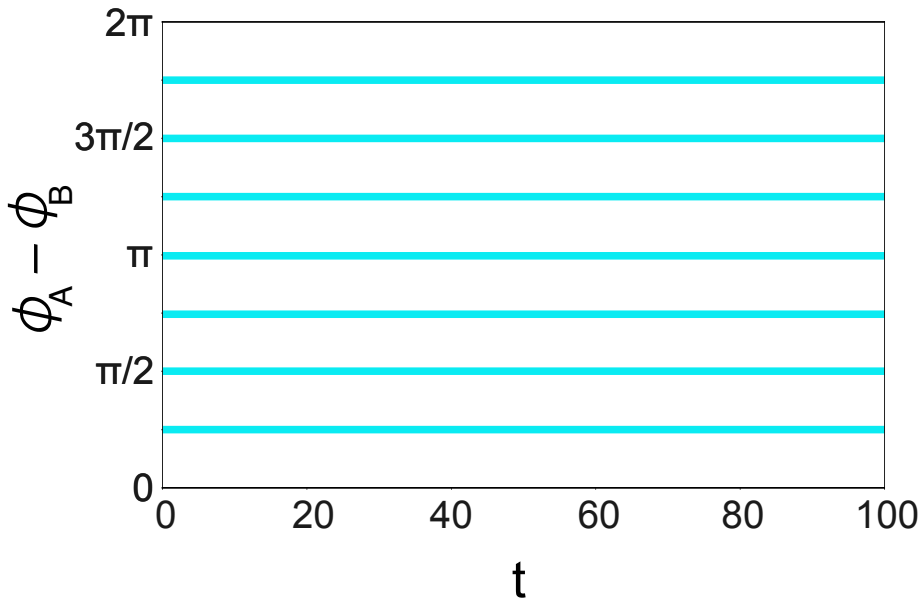




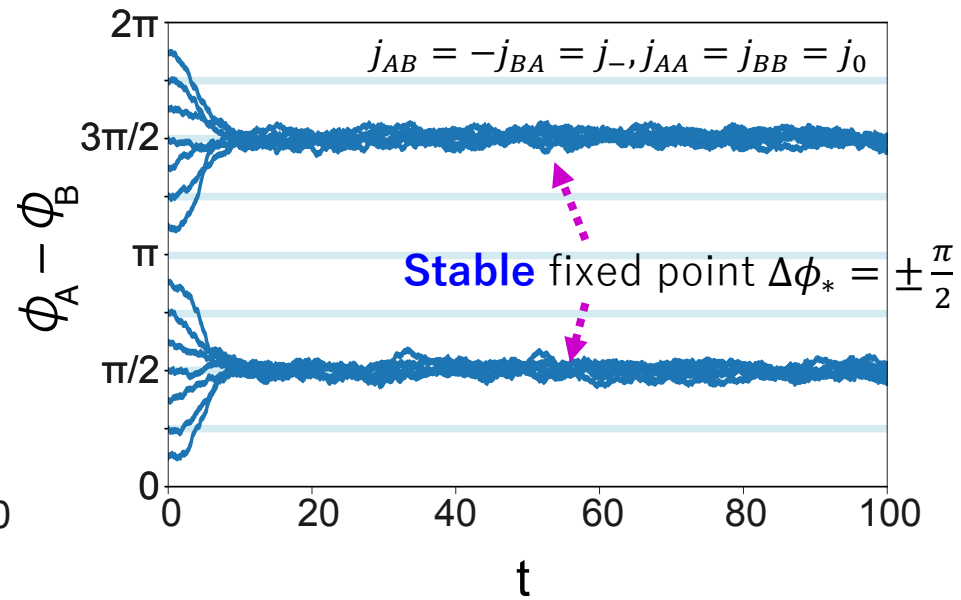
# 無秩序による秩序

$$j_{AB} = -j_{BA}$$

ノイズなし



ノイズあり



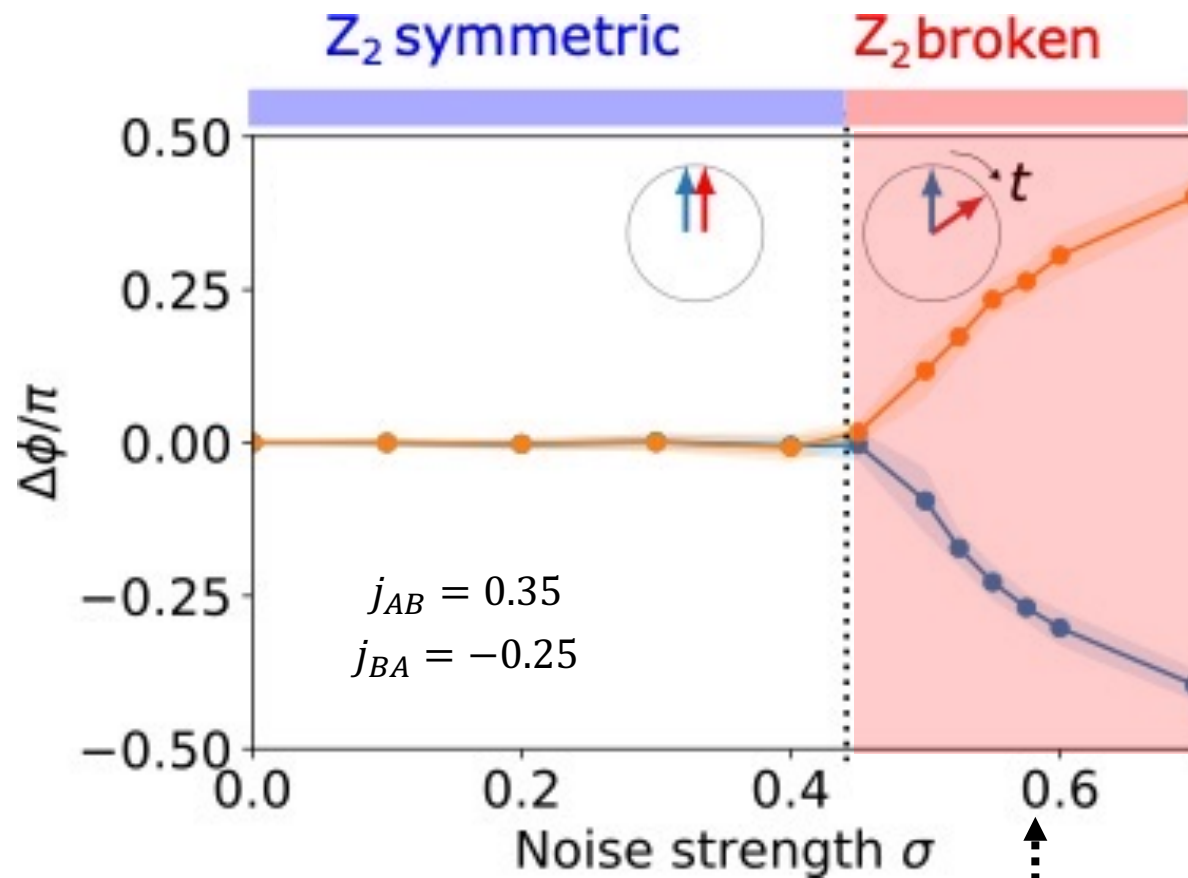
無秩序による秩序！

解析解とコンシステント

$$\Delta\dot{\phi} \approx \frac{j_0 j^2 \sigma^2}{2} \frac{\cos \Delta\phi}{(j_0^2 - j^2 \cos^2 \Delta\phi)^2} \sin \Delta\phi$$

# 無秩序による秩序

$$j_{AB} > -j_{BA}$$



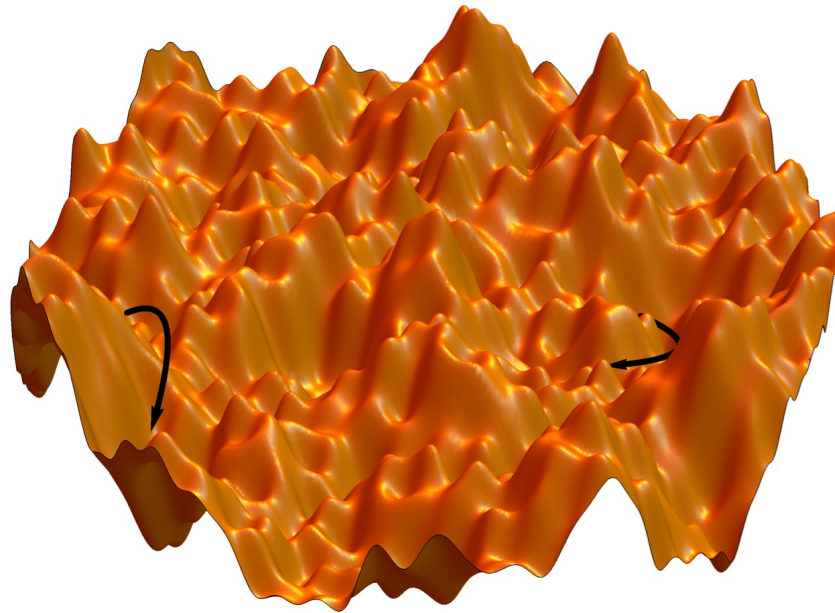
ノイズに誘起された対称性の破れ!

# スピンガラス

$$H = -\frac{1}{2} \sum_{i,j} J_{ij} S_i S_j$$

$$p(J_{ij}) = [(2\pi)^{1/2} J]^{-1} \exp[-(J_{ij} - J_0)^2 / 2J^2],$$

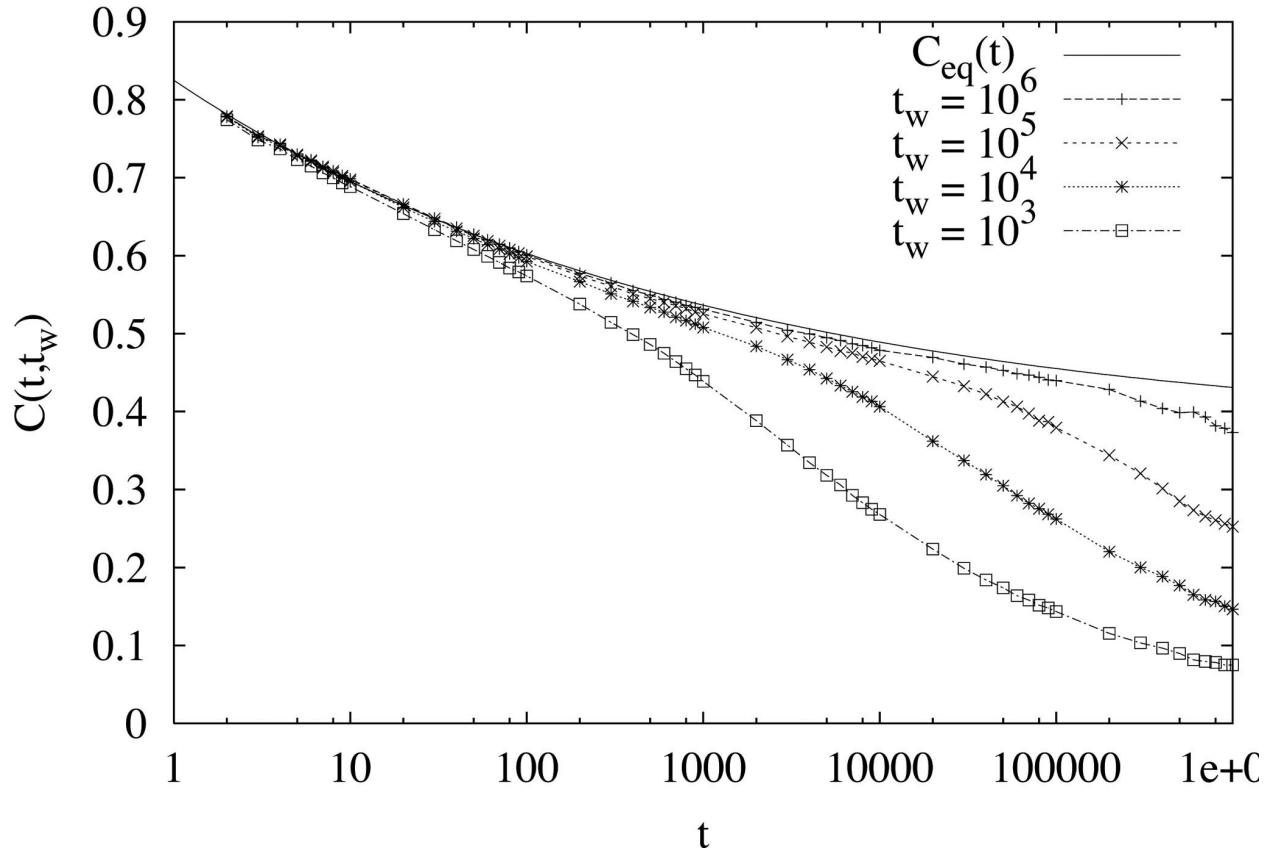
Sherrington and Kirkpatrick PRL1975



空間的な長距離秩序を伴わない、極めて遅い緩和

# エイジング現象

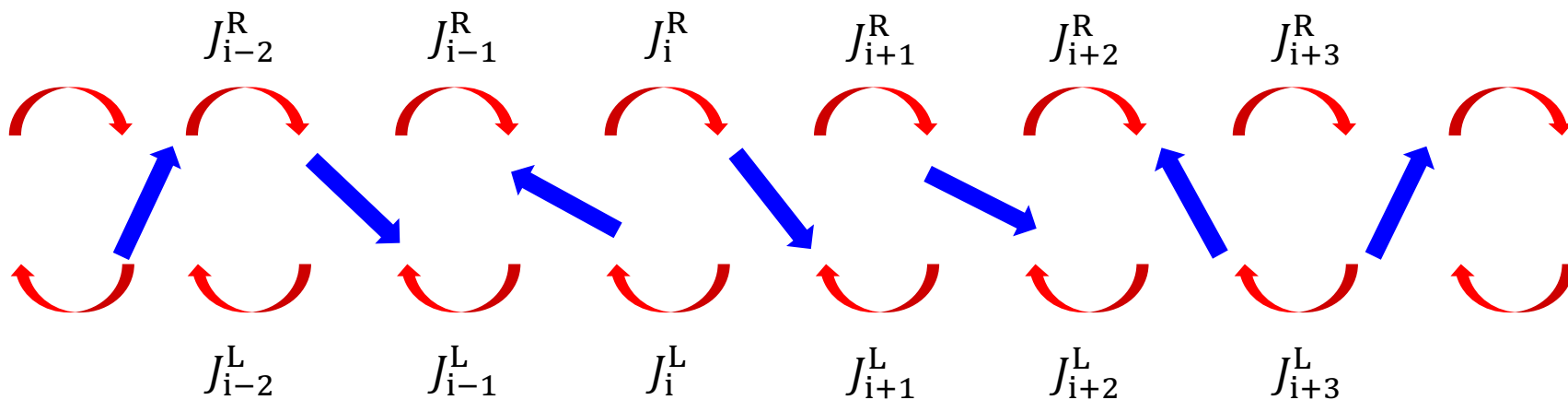
$$C(t, t_w) = \frac{1}{N} \sum_{i=1}^N \langle \sigma_i(t_w) \sigma_i(t_w + t) \rangle = q(t_w, t_w + t)$$



Parisi PNAS 2006 (Review)

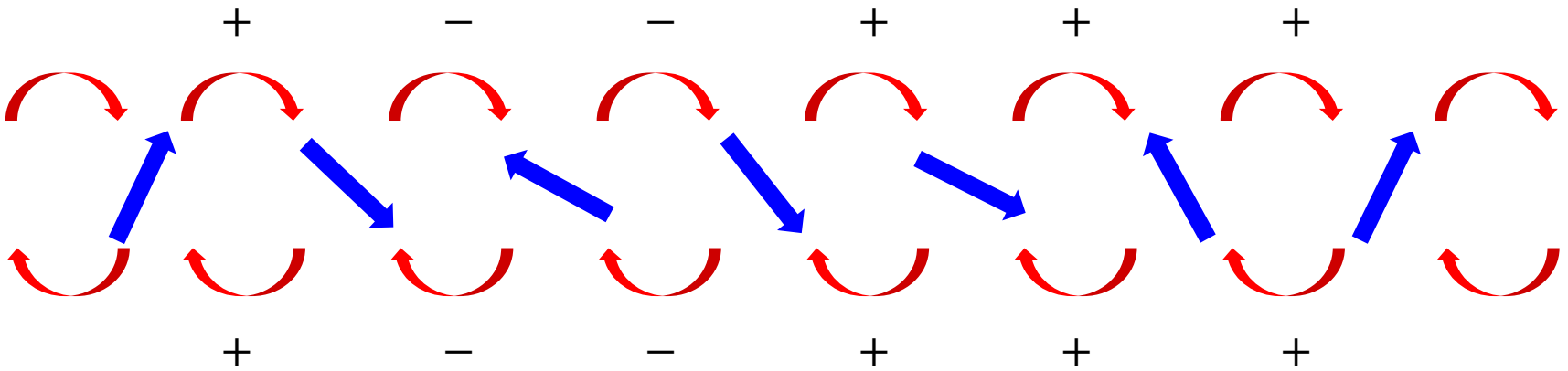
Q: 非相反フラストレーションがガラスダイナミクスをもたらすことはあるか？

# 一次元非相反ランダムスピン鎖



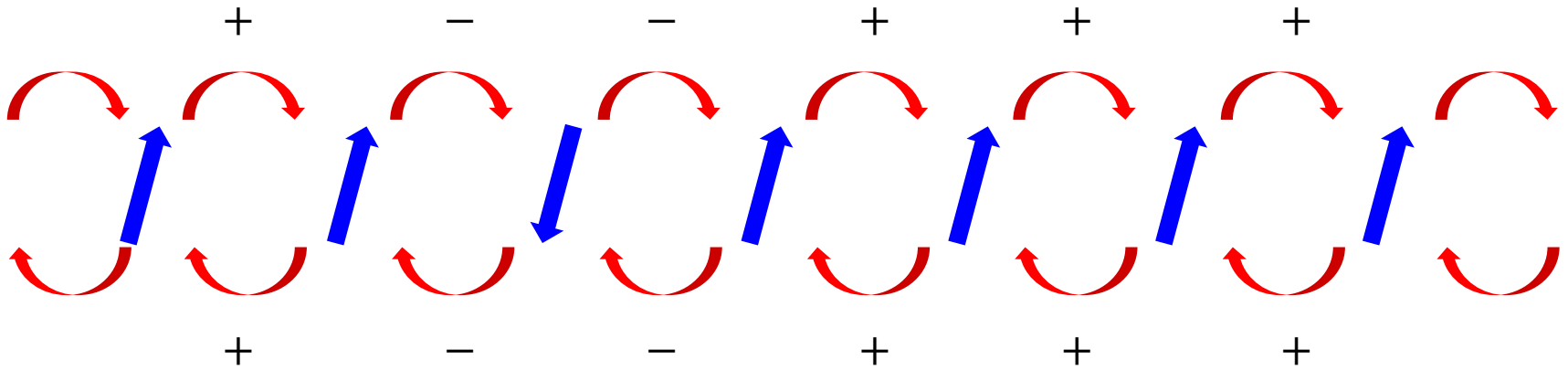
$$p(J_i^{L/R}) \propto \begin{cases} e^{-(J_i^{L/R})^2 / (2\sigma_J^2)} & |J_i^{L/R}| \geq J_c \\ 0 & |J_i^{L/R}| < J_c \end{cases}$$

相反の場合  $J_{ij} = J_{ji}$



$$p(J_i^{L/R}) \propto \begin{cases} e^{-(J_i^{L/R})^2 / (2\sigma_J^2)} & |J_i^{L/R}| \geq J_c \\ 0 & |J_i^{L/R}| < J_c \end{cases}$$

相反的な場合  $J_{ij} = J_{ji}$



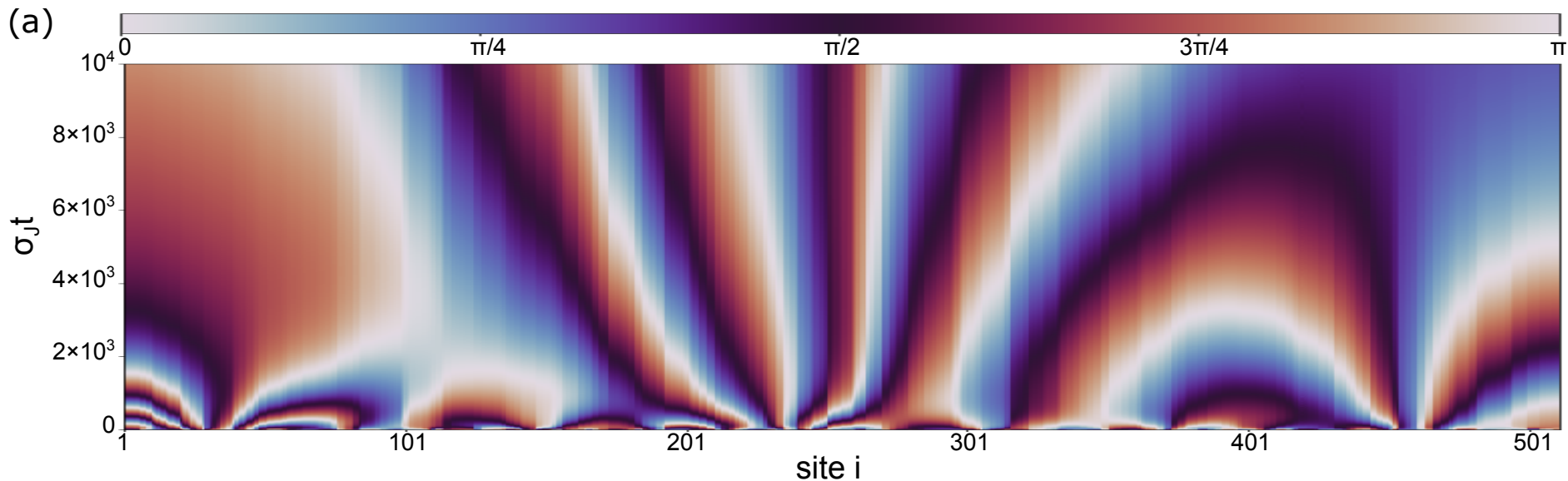
ネマティック秩序

$$p(J_i^{L/R}) \propto \begin{cases} e^{-(J_i^{L/R})^2 / (2\sigma_J^2)} & |J_i^{L/R}| \geq J_c \\ 0 & |J_i^{L/R}| < J_c \end{cases}$$

相反的な場合 = 幾何学的フラストレーションなし

# 相反的( $J_{ij} = J_{ji}$ )ランダムスピンの鎖

$$\varphi_i = \theta_i \pmod{\pi}$$



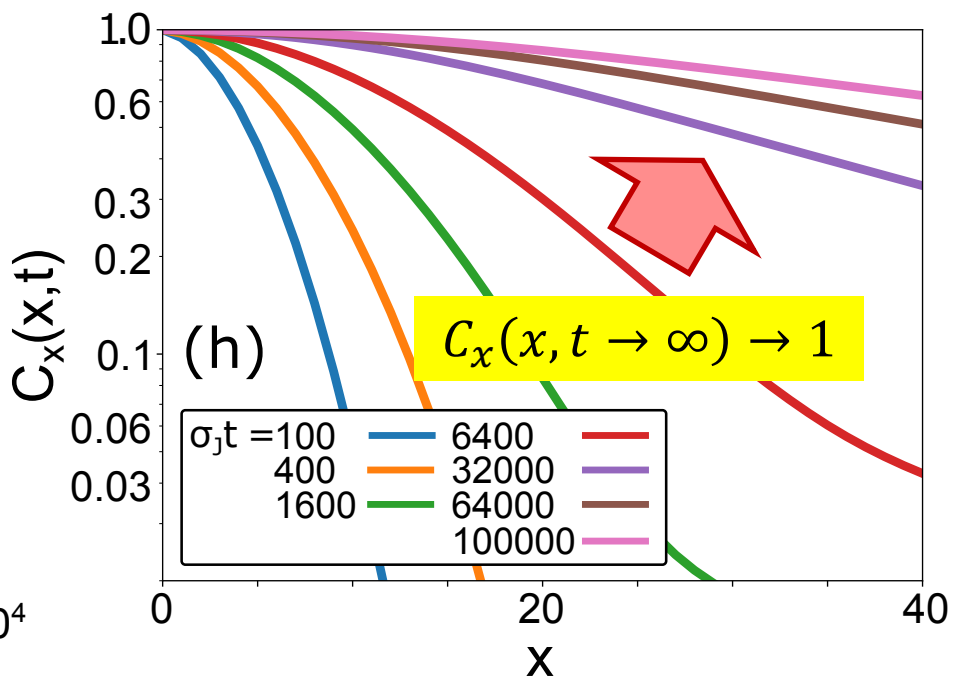
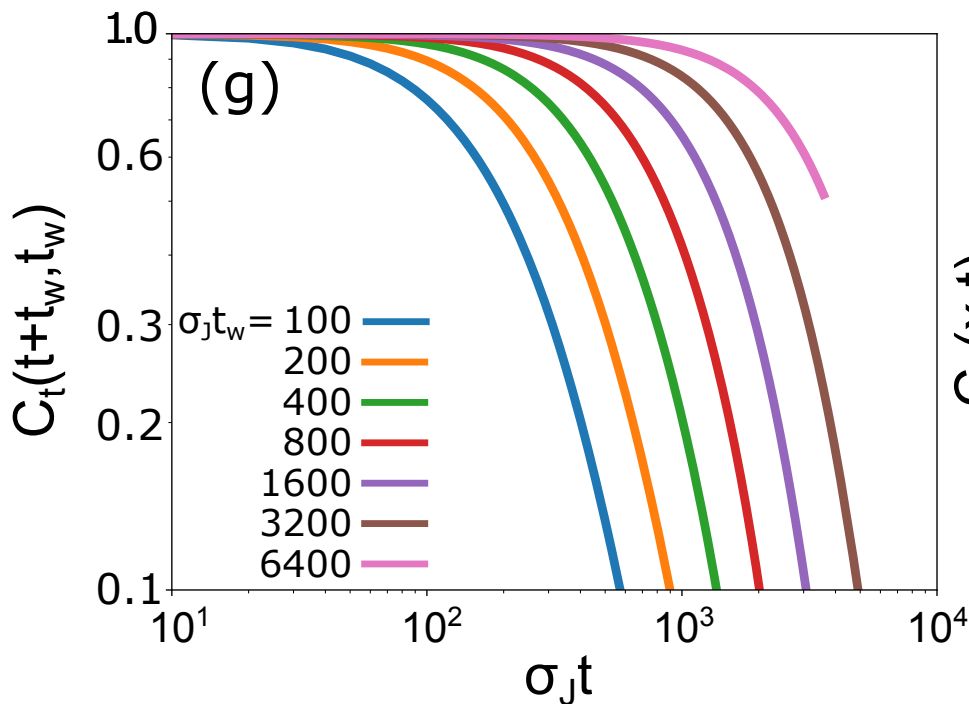
ドメイン壁の消滅によるネマティック秩序の発達



# 相反的 ( $J_{ij} = J_{ji}$ ) ランダムスピン鎖

**時間**相関関数

**空間**相関関数



$$C_t(t_w + t, t_w) = \left| \frac{1}{N} \sum_{i=1}^N \overline{\delta\psi_{2,i}(t_w + t) \delta\psi_{2,i}^*(t_w)} \right|$$

where  $e^{2i\theta_i(t)} = \psi_2(t)$  and  $\psi_2 = (1/N) \sum_{i=1}^N e^{2i\theta_i}$

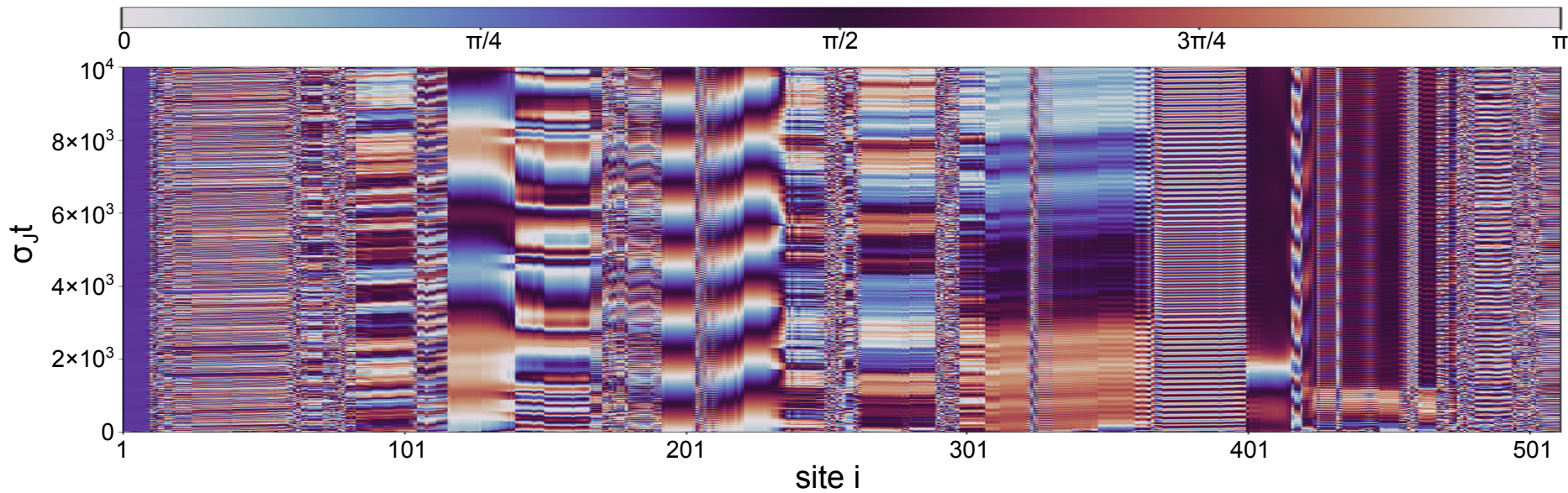
$$C_x(x, t) = \left| \frac{1}{(N-x)} \sum_{j=1}^{N-x} \overline{\psi_{2,j+x}(t) \psi_{2,j}^*(t)} \right|$$

長距離ネマティック秩序がゆっくりと発展する

# 非相反ランダムスピソ鎖

( $J_{ij}$  and  $J_{ji}$  independent)

$$\varphi_i = \theta_i \pmod{\pi}$$

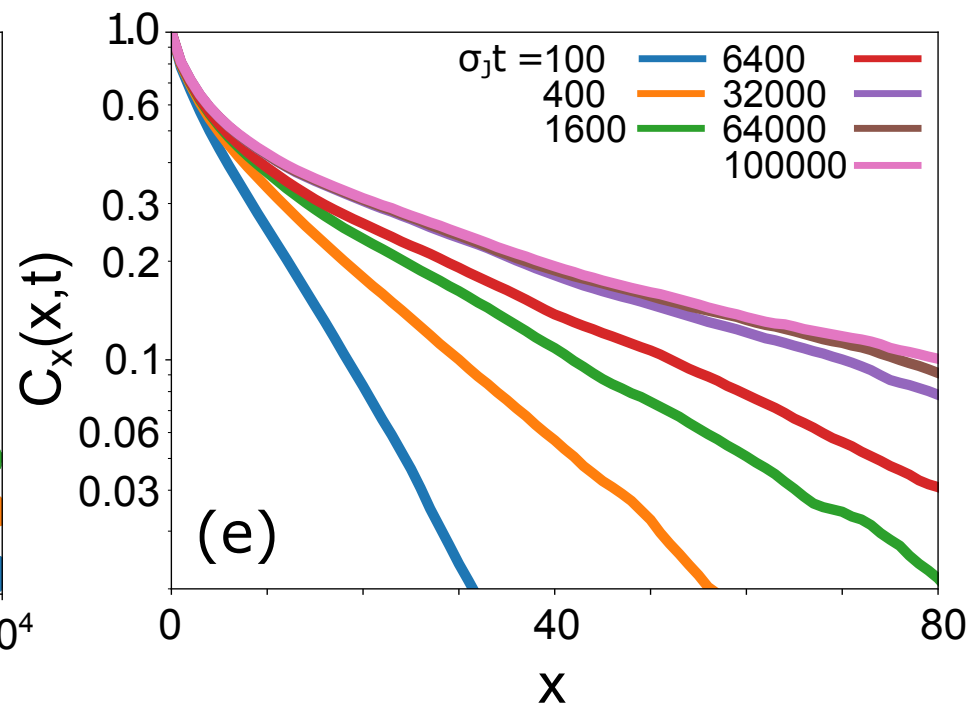
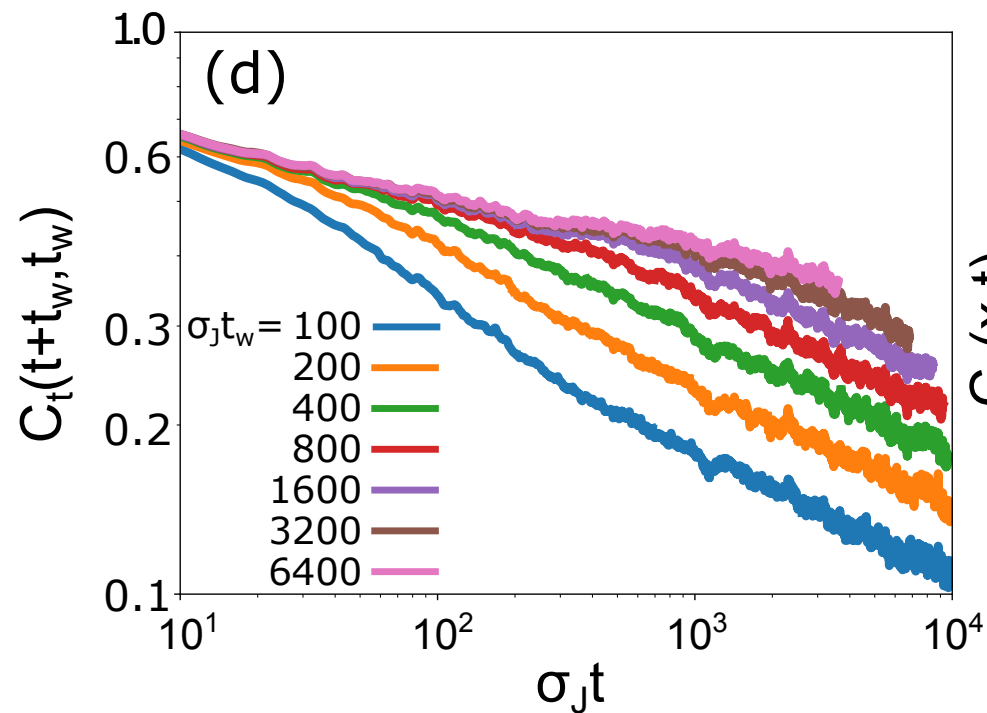


Periodic and chaotic domain dynamics

# 非相反ランダムスピン鎖

時間相関関数

空間相関関数



エイジング現象を伴ったべき減衰

短距離相関

スピンガラスに似た現象.

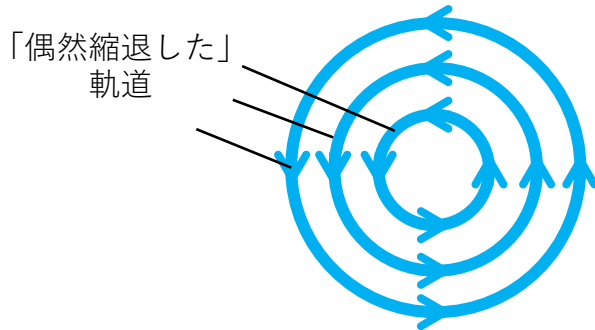
# まとめ

➤ 幅広い科学分野において**非相反相転移**が現れる

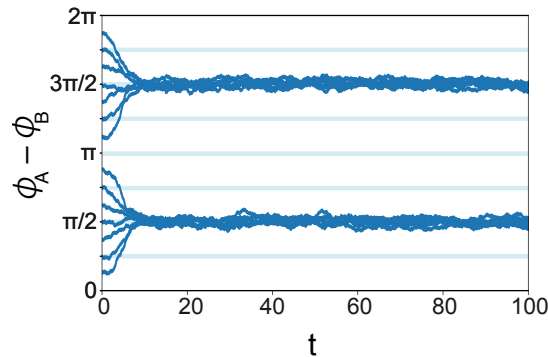
パターン形成、群れ、生態系、界面成長、生命科学、工学、量子開放系、量子光学、…

➤ **フラストレーション物理**と**非相反系**との直接的アナロジー

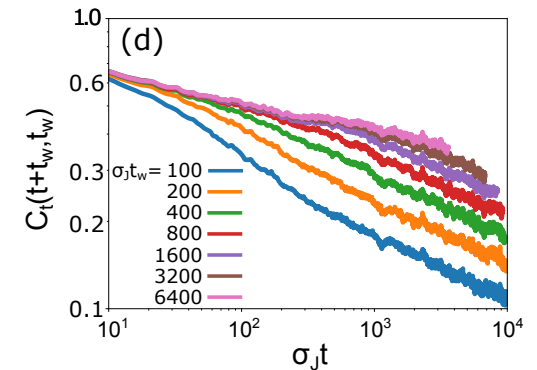
軌道の「偶然縮退」



無秩序による秩序



スピングラスに類似の状態



M. Fruchart\*, RH\*, P. B. Littlewood, and V. Vitelli, Nature 592, 363 (2021).

RH and P.B. Littlewood, PRResearch 2, 033018 (2020).

RH, A. Edelman, Y. Ohashi, and P. B. Littlewood, PRL 122, 185301(2019)

C. Weis, M. Fruchart, RH, K. Kawagoe, P. B. Littlewood, and V. Vitelli, arXiv:2207.11667

RH, arXiv: 2208.08577; in preparation.

解説記事：花井 亮、日本物理学会誌10月号

# リウビル型の定理の証明

XYスピン系を考える  $\dot{\theta}_i = \sum_j J_{ij} \sin(\theta_j - \theta_i)$

$J_{ij} = -J_{ji}$  のとき、リウビル型の定理  $\frac{d\rho}{dt} = \frac{\partial \rho}{\partial t} + \sum_i \frac{\partial \rho}{\partial \theta_i} \dot{\theta}_i = 0$  が成り立つ。

(証明)

連続方程式:  $\frac{\partial \rho}{\partial t} = - \sum_i \frac{\partial(\rho \dot{\theta}_i)}{\partial \theta_i} = - \sum_i \left[ \frac{\partial \rho}{\partial \theta_i} \dot{\theta}_i + \rho \frac{\partial \dot{\theta}_i}{\partial \theta_i} \right]$

$$\sum_i \frac{\partial \dot{\theta}_i}{\partial \theta_i} = - \sum_{ij} [J_{ij} \cos(\theta_j - \theta_i)] = 0$$

$J_{ij} = -J_{ji}$

よって、 $\frac{\partial \rho}{\partial t} + \sum_i \frac{\partial \rho}{\partial \theta_i} \dot{\theta}_i = 0.$  が成立する。 ■

この結果、Lyapunov exponentの和はゼロ。  $\sum_i \lambda_i = 0$

例えばカオスが起きていない場合、全ての*i*について  $\lambda_i = 0$

# リウビル型の定理の証明

より一般の運動方程式  $\dot{x}_i = \sum_j \phi_{ij}(x_i, x_j)$  の場合も

$\frac{\partial \phi_{ij}(x_i, x_j)}{\partial x_i} = -\frac{\partial \phi_{ji}(x_j, x_i)}{\partial x_j}$  のとき、同様の関係式

$$\frac{d\rho}{dt} = \frac{\partial \rho}{\partial t} + \sum_i \frac{\partial \rho}{\partial x_i} \dot{x}_i = 0 \quad \text{が成立する。}$$